



中山大學  
SUN YAT-SEN UNIVERSITY

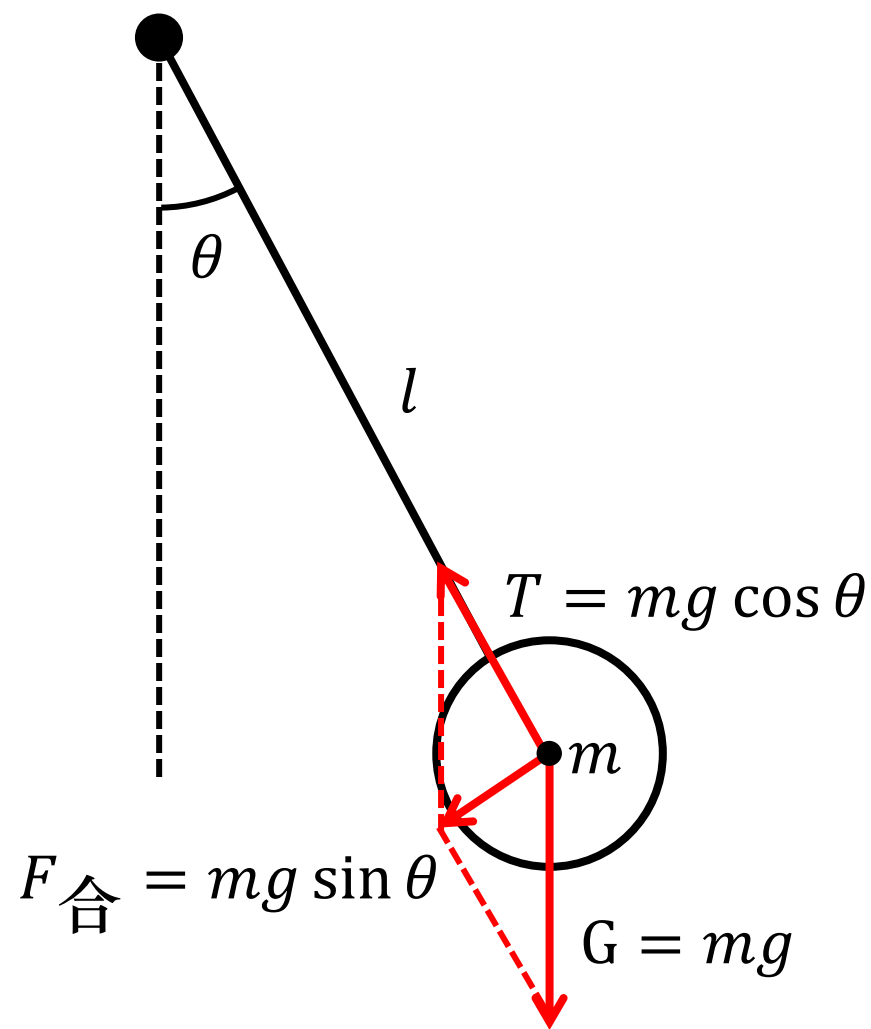
# 计算物理导论 与 COMSOL Multiphysics®应用

Torchwood物理学社

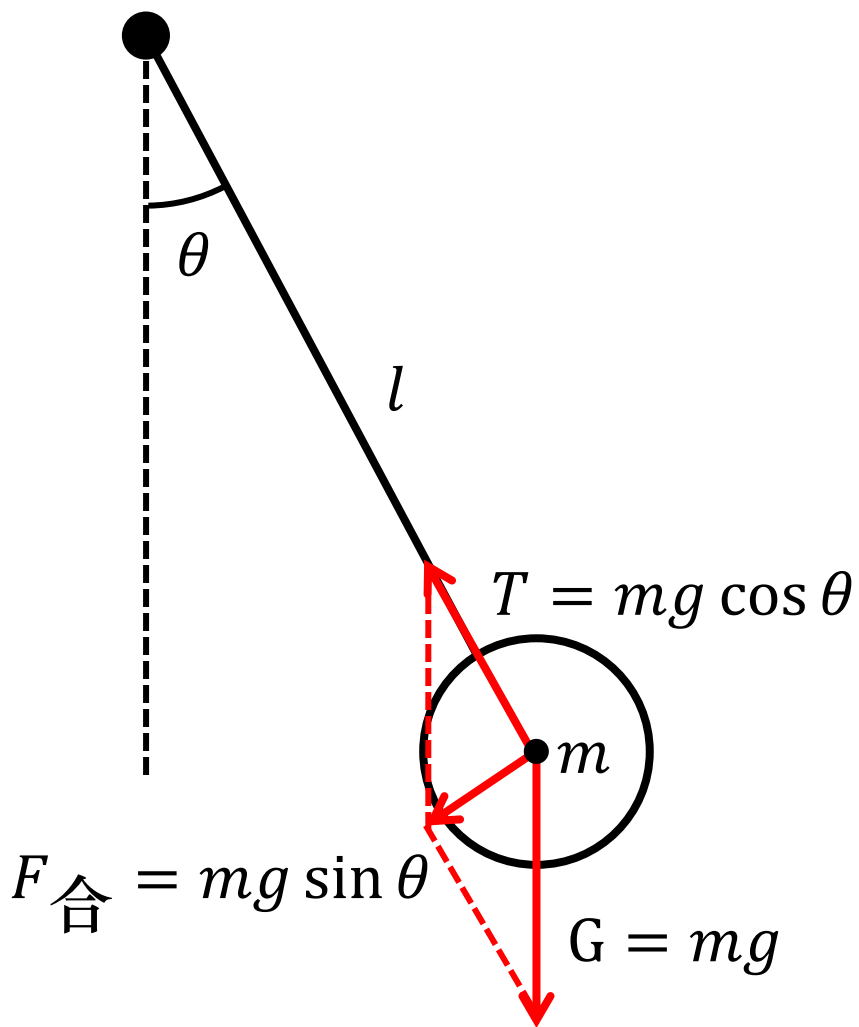
[chenle9@mail2.sysu.edu.cn](mailto:chenle9@mail2.sysu.edu.cn)

2023-11-04

# 从一个单摆开始



# 从一个单摆开始



由极坐标系下的牛顿第二定律有：

$$\tau = I\alpha$$

由受力分析有：

$$\tau = F_{\text{合}} \times l = mgl \sin \theta$$

$$I = ml^2$$

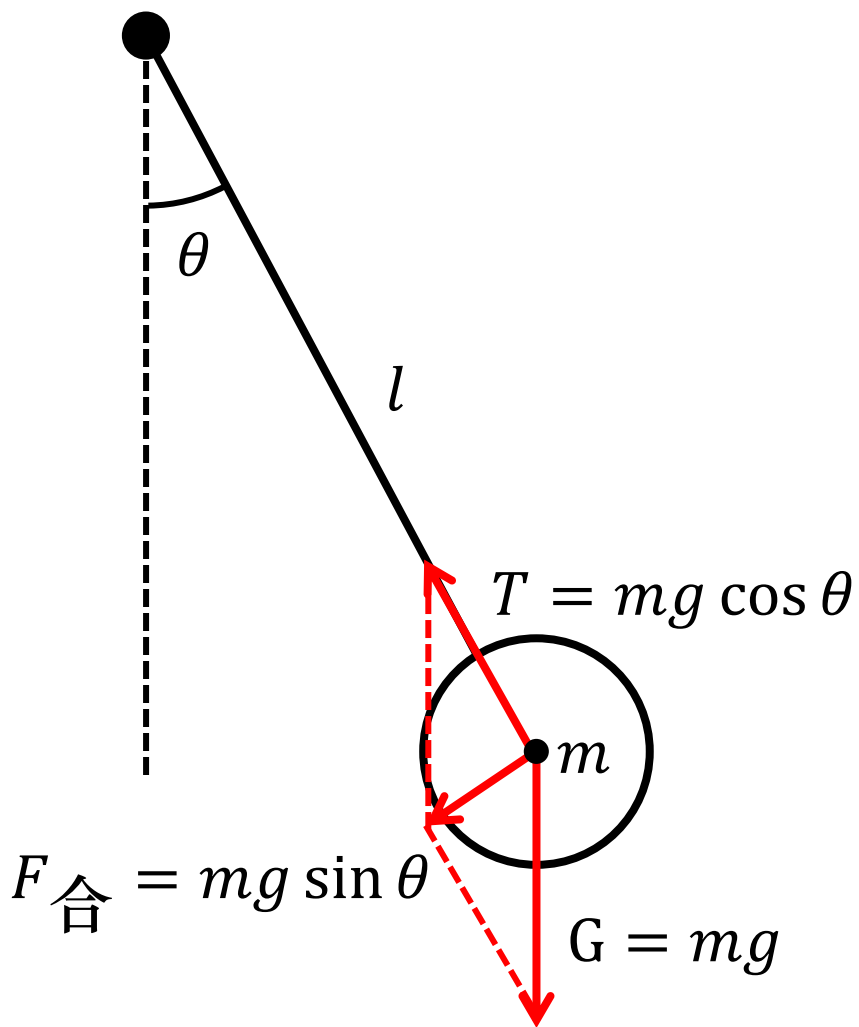
单摆的动力学方程如下：

$$\alpha = -\frac{g}{l} \sin \theta$$

即

$$\frac{d^2 \theta}{dt^2} + \frac{g}{l} \sin \theta = 0$$

# 从一个单摆开始



$$\frac{d^2 \theta}{dt^2} + \frac{g}{l} \sin \theta = 0$$

由小角近似  $\sin \theta \approx \theta$  化为:

$$\frac{d^2 \theta}{dt^2} + \frac{g}{l} \theta = 0$$

其解析解为:

$$\theta(t) = \theta_0 \cos \left( \sqrt{\frac{g}{l}} t \right) + \frac{\omega_0}{\sqrt{g/l}} \sin \left( \sqrt{\frac{g}{l}} t \right)$$

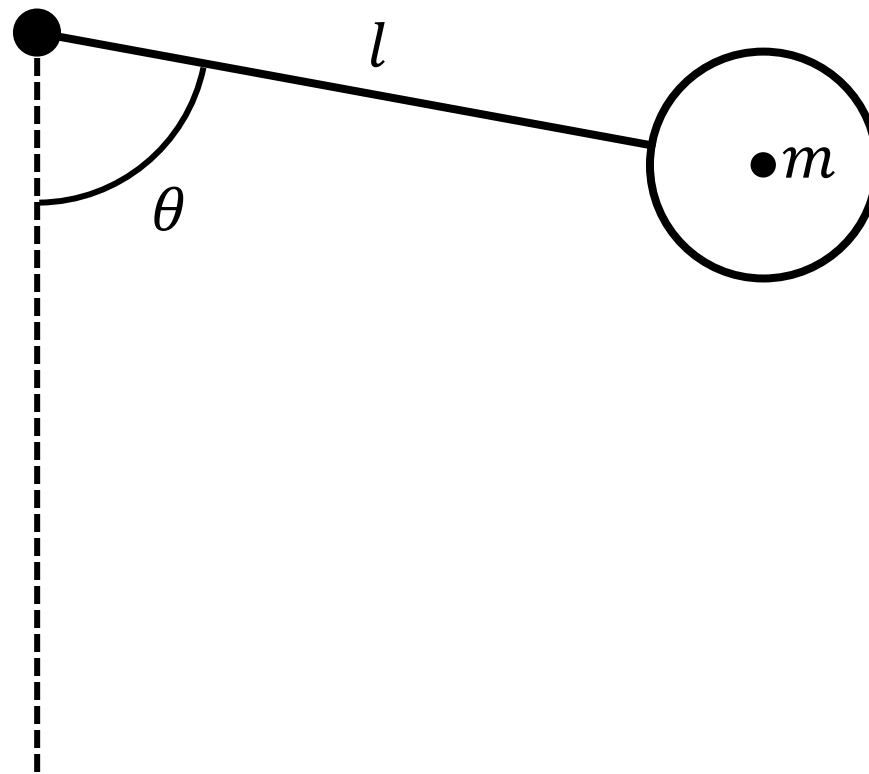
经典周期:

$$T = 2\pi \sqrt{l/g}$$

# 从一个单摆开始

若小角近似  $\sin \theta \approx \theta$  不再适用

我们怎么求解  $\frac{d^2\theta}{dt^2} + \frac{g}{l} \sin \theta = 0$ ?



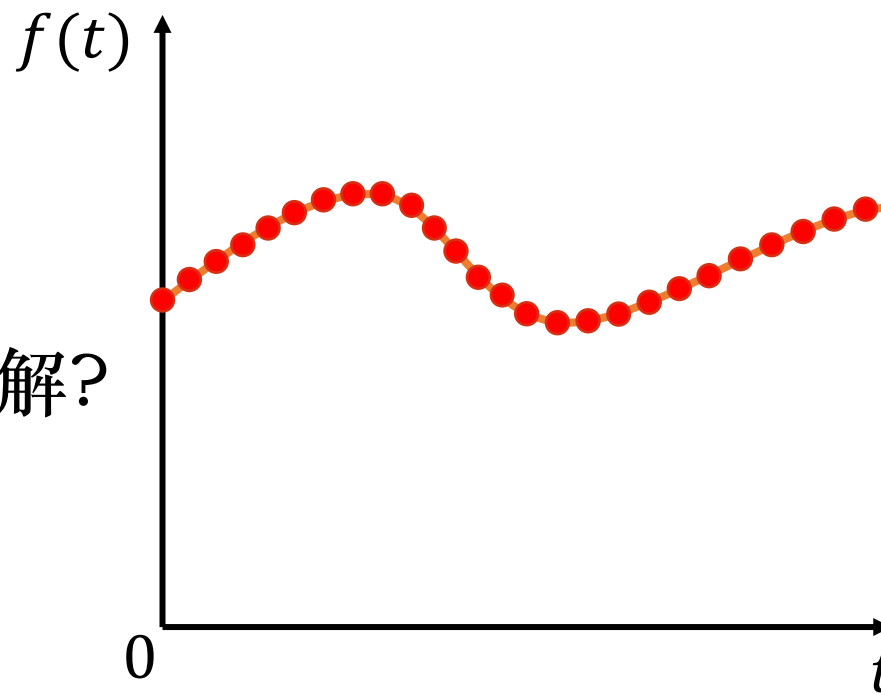
# 从一个单摆开始

假设有一个函数 $f(t)$

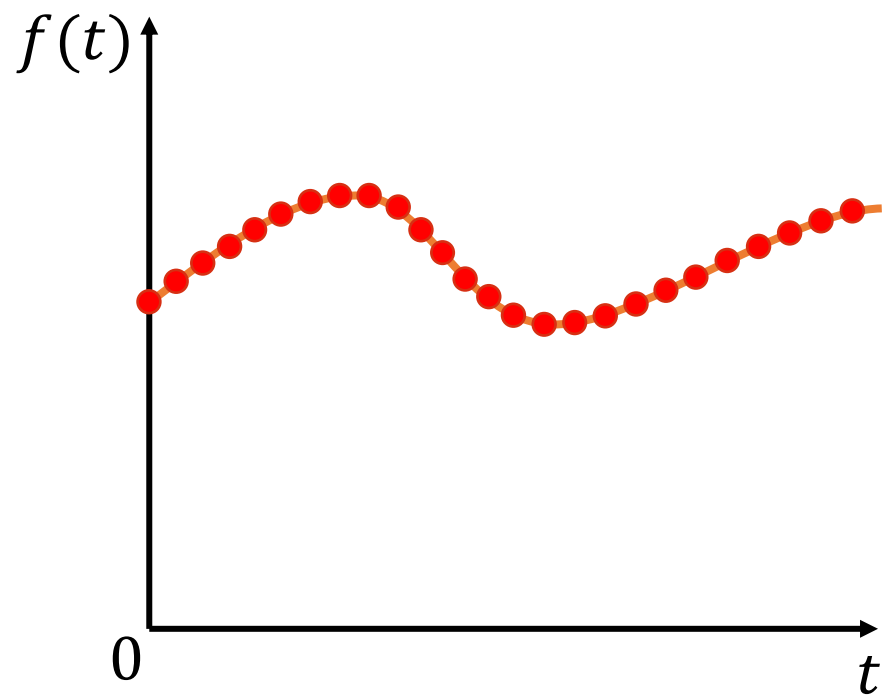
我们知道 $f(0)$

能否通过步进 $t$ 的方法求解数值解？

——微分方程初值问题数值解



# 微分方程初值问题数值解



如何离散化时间?

将 $f(t)$ 在 $t = t_0$ 处做泰勒展开:

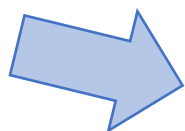
$$\begin{aligned} f(t) &= f(t_0) + f'(t_0)(t - t_0) + \frac{1}{2!}f''(t_0)(t - t_0)^2 \\ &+ \cdots + \frac{1}{n!}f^{(n)}(t_0)(t - t_0)^n + \cdots \end{aligned}$$

# 微分方程初值问题数值解



将 $f(t_i)$ 在 $t = t_{i-1}$ 处做泰勒展开:

$$\begin{aligned} f(t_i) &= f(t_{i-1} + \Delta t) \\ &= f(t_{i-1}) + f'(t_{i-1})(\Delta t) \\ &\quad + \frac{1}{2!} f''(t_i)(\Delta t)^2 + \dots \\ &\quad + \frac{1}{n!} f^{(n)}(t_i)(-\Delta t)^n + \dots \end{aligned}$$



对于一阶欧拉方法:

$$f(t_i) = f(t_{i-1}) + f'(t_{i-1})\Delta t$$



# 微分方程初值问题数值解



前进欧拉方法（显式）：

$$f(t_i) = f(t_{i-1}) + f'(t_{i-1})\Delta t$$

后退欧拉方法（隐式）：

$$f(t_i) = f(t_{i-1}) + f'(t_i)\Delta t$$

迭代求解：

$$f(t_{i,1}) = f(t_{i-1}) + f'(t_{i-1})\Delta t$$

$$f(t_{i,2}) = f(t_{i-1}) + f'(t_{i,1})\Delta t$$

...

(达到容差)  
收敛



# 小试牛刀

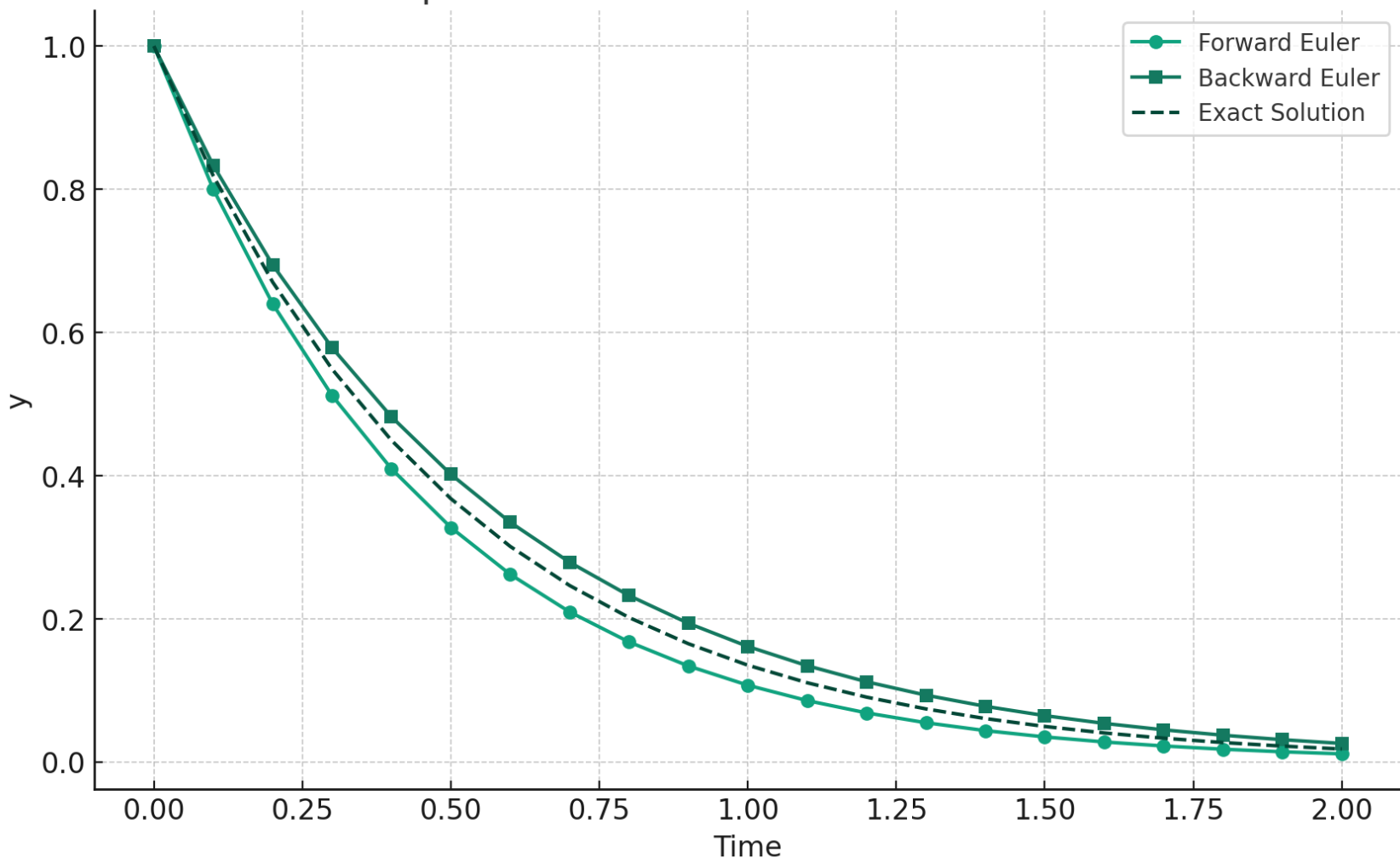
尝试求解

$$\frac{dy}{dt} = -2y, y(0) = 1$$

解析解:

$$y(t) = e^{-2t}$$

Comparison of Numerical Methods for ODEs



# 小试牛刀

尝试求解

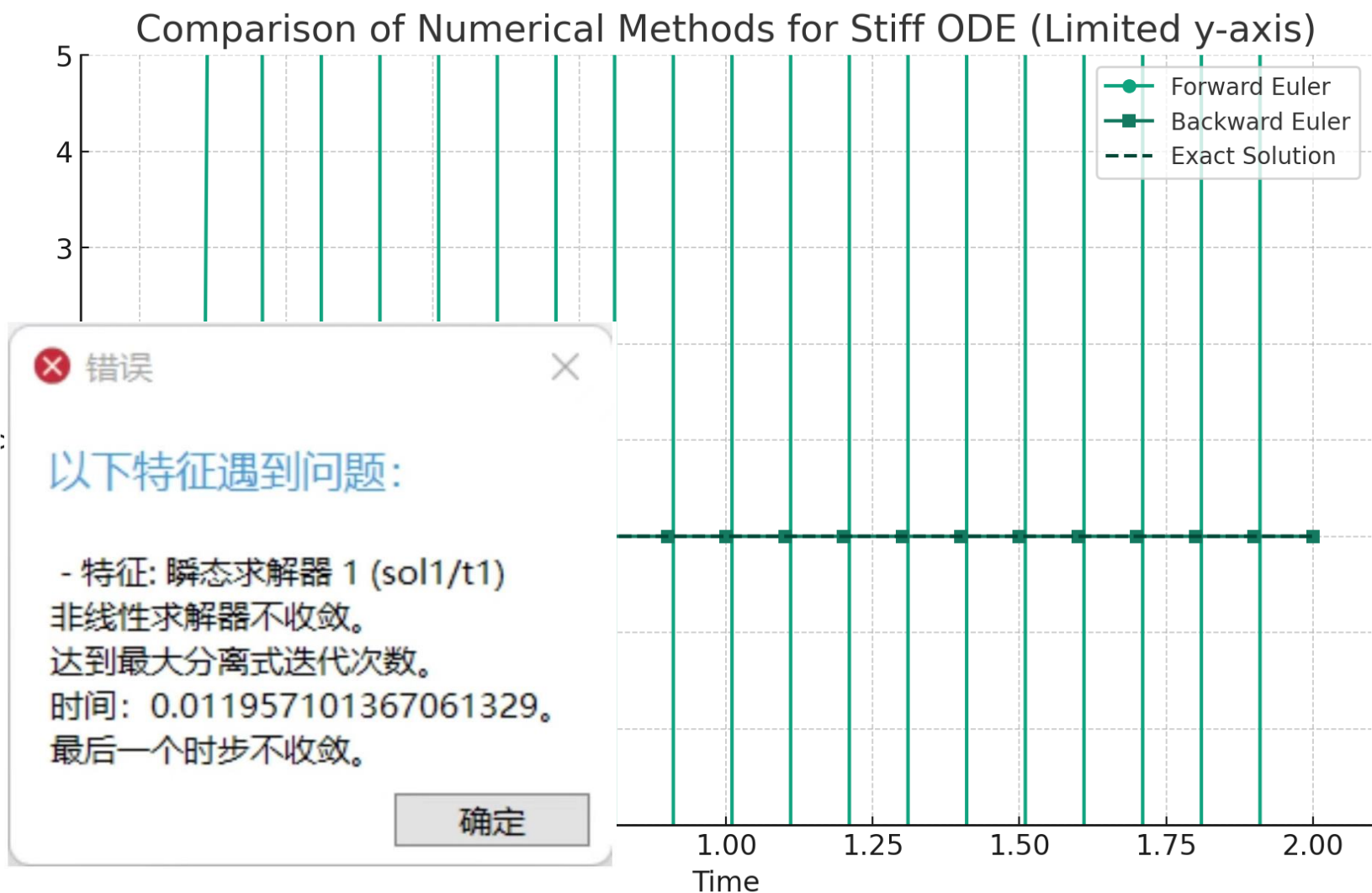
$$\frac{dy}{dt} = -100y, y(0) = 1$$

解析解:

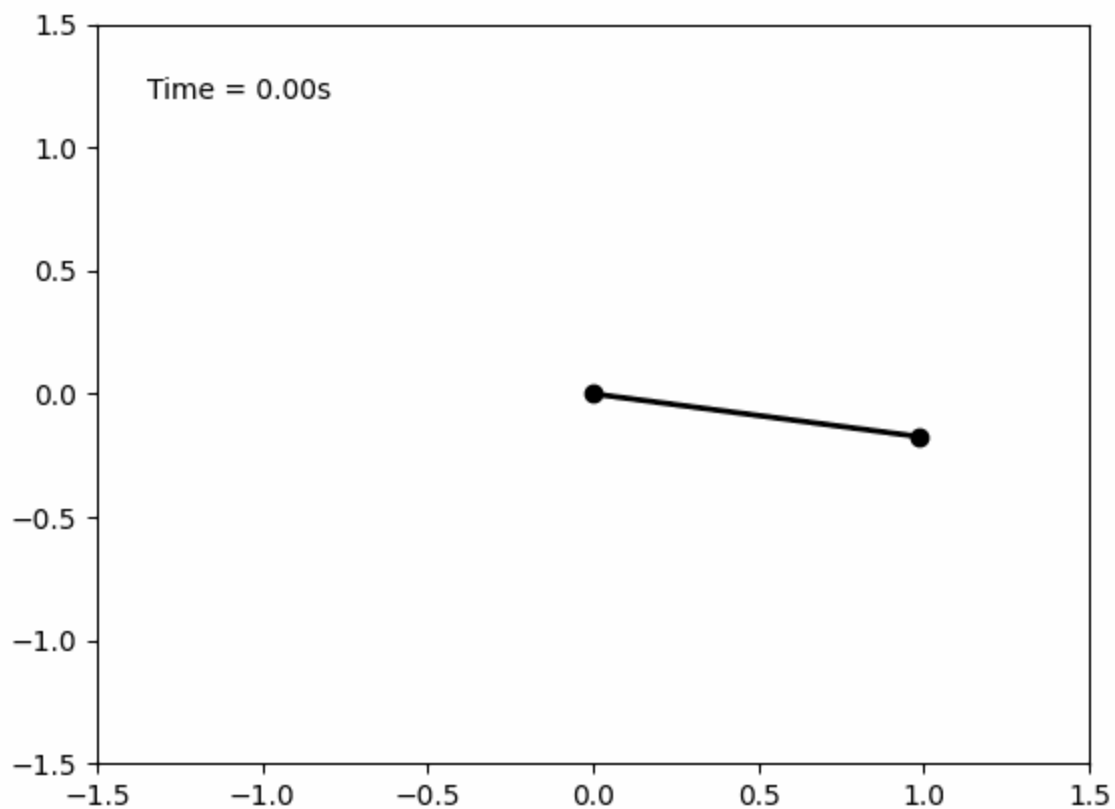
$$y(t) = e^{-100t}$$

隐式方法

- ① 稳定性更好
- ② 计算量大
- ③ 复杂系统可能不收敛

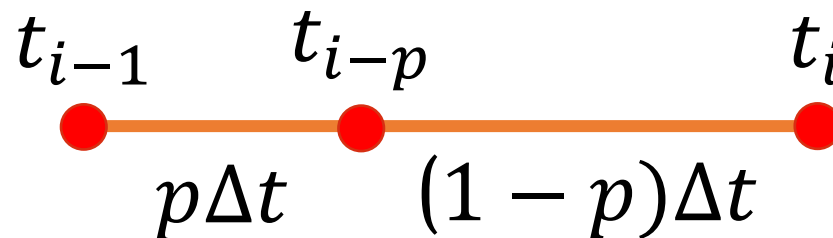


# 回到单摆



结果不理想，是否有更高精度的方法？

# 微分方程初值问题数值解



在  $(t_{i-1}, t_i)$  取一点  $t_{i-p}$

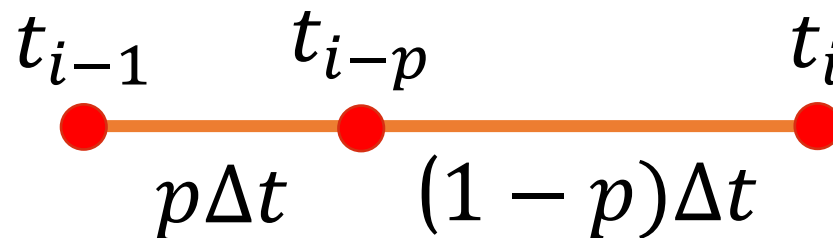
对步进取加权，加权系数为  $\lambda$ ：

$$f(t_i) = f(t_{i-1}) + \Delta t[(1 - \lambda)K_1 + \lambda K_2]$$

$K_1 = f'(t_{i-1})$  为  $(t_{i-1}, t_{i-p})$  的斜率

$K_2 = f'(t_{i-p})$  为  $(t_{i-p}, t_i)$  的斜率

# 微分方程初值问题数值解

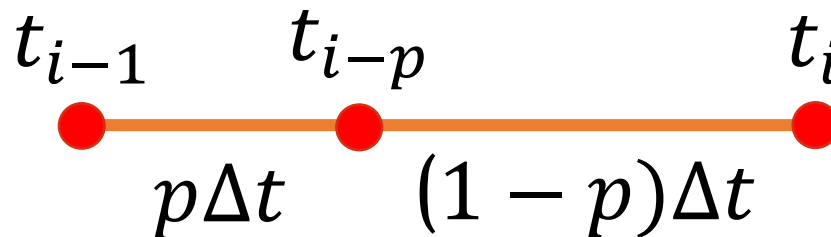


将  $f'(t_{i-p})$  在  $t = t_{i-1}$  处做泰勒展开:

$$\begin{aligned} f'(t_{i-p}) &= f'(t_{i-1} + p\Delta t) \\ &= f'(t_{i-1}) + f''(t_{i-1})(p\Delta t) + O(t^2) \end{aligned}$$

$$\begin{aligned} K_2 = f'(t_{i-p}) &= f'(t_{i-1}) + \\ &\quad f''(t_{i-1})(p\Delta t) + O(t^2) \end{aligned}$$

# 微分方程初值问题数值解



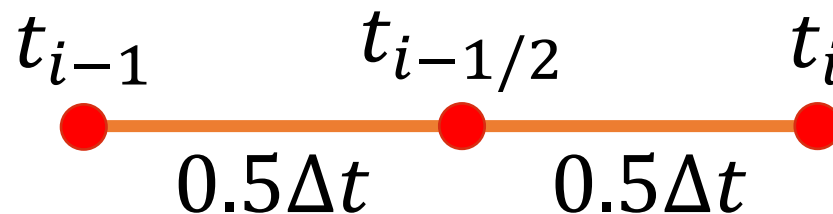
将 $K_1$ 和 $K_2$ 代入

$$\begin{aligned} f(t_i) &= f(t_{i-1}) + \Delta t[(1-\lambda)K_1 + \lambda K_2] \\ &= f(t_{i-1}) + \Delta t(1-\lambda)f'(t_{i-1}) + \Delta t\lambda f'(t_{i-1}) + \Delta t\lambda f''(t_{i-1})(p\Delta t) + O(\Delta t^3) \\ &= f(t_{i-1}) + f'(t_{i-1})(\Delta t) + \lambda p f''(t_{i-1})(\Delta t)^2 + O(\Delta t^3) \\ &= f(t_{i-1}) + f'(t_{i-1})(\Delta t) + \frac{1}{2!} f''(t_{i-1})(\Delta t)^2 + O(\Delta t^3) \end{aligned}$$

$$\lambda p = \frac{1}{2}$$

将 $f(t_i)$ 在 $t = t_{i-1}$ 处做泰勒展开

# 微分方程初值问题数值解

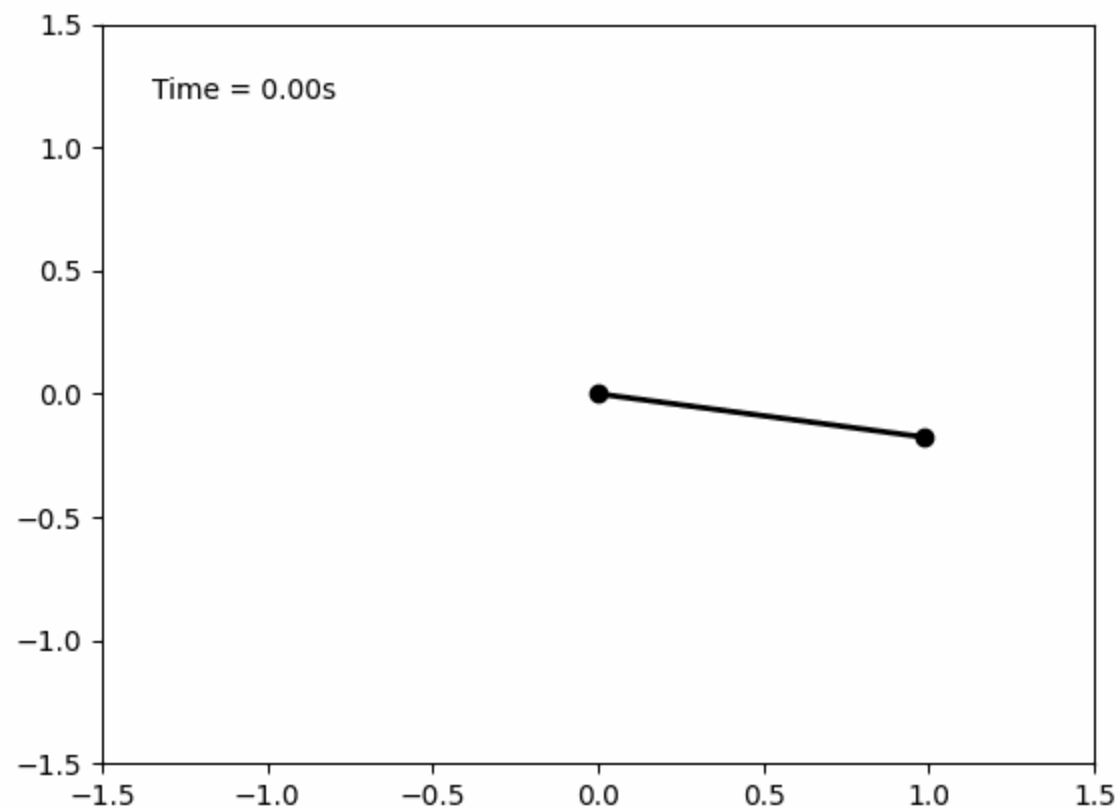


二阶龙格-库塔方法（中点格式）：

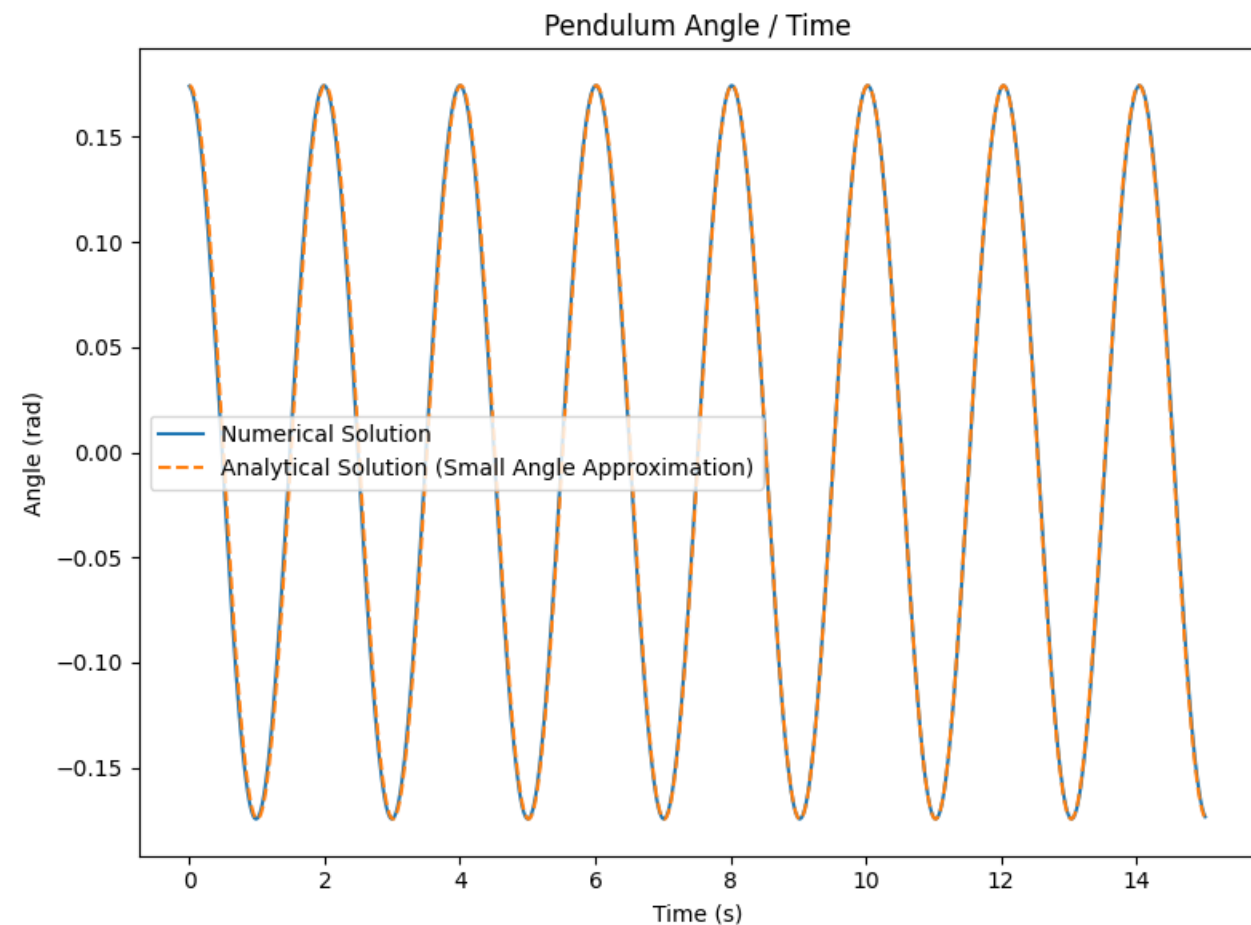
$$\lambda = 1, \quad p = \frac{1}{2}$$
$$f(t_i) = f(t_{i-1}) + \Delta t K_2$$
$$K_2 = f'(t_{i-1/2})$$



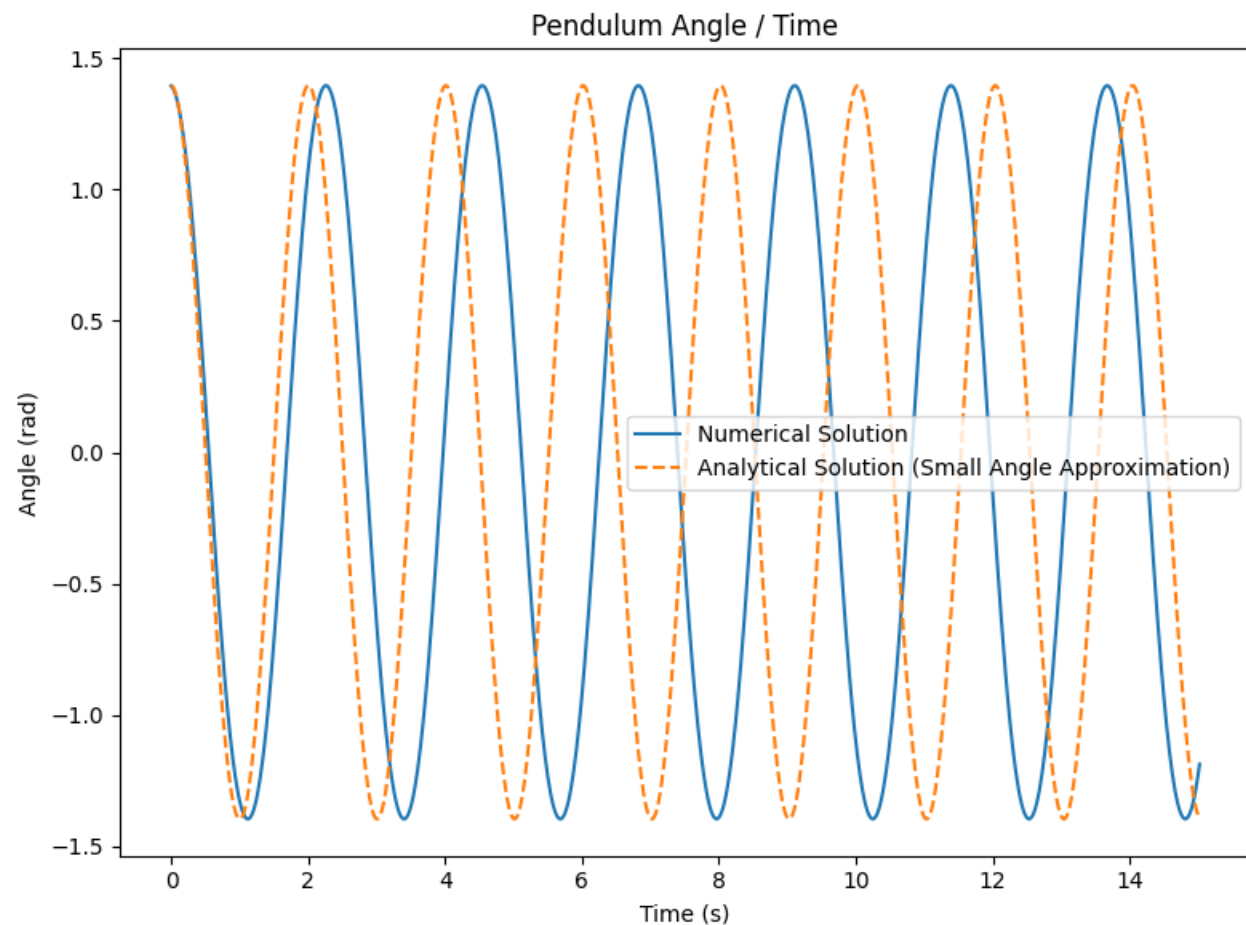
# 回到单摆



# 回到单摆

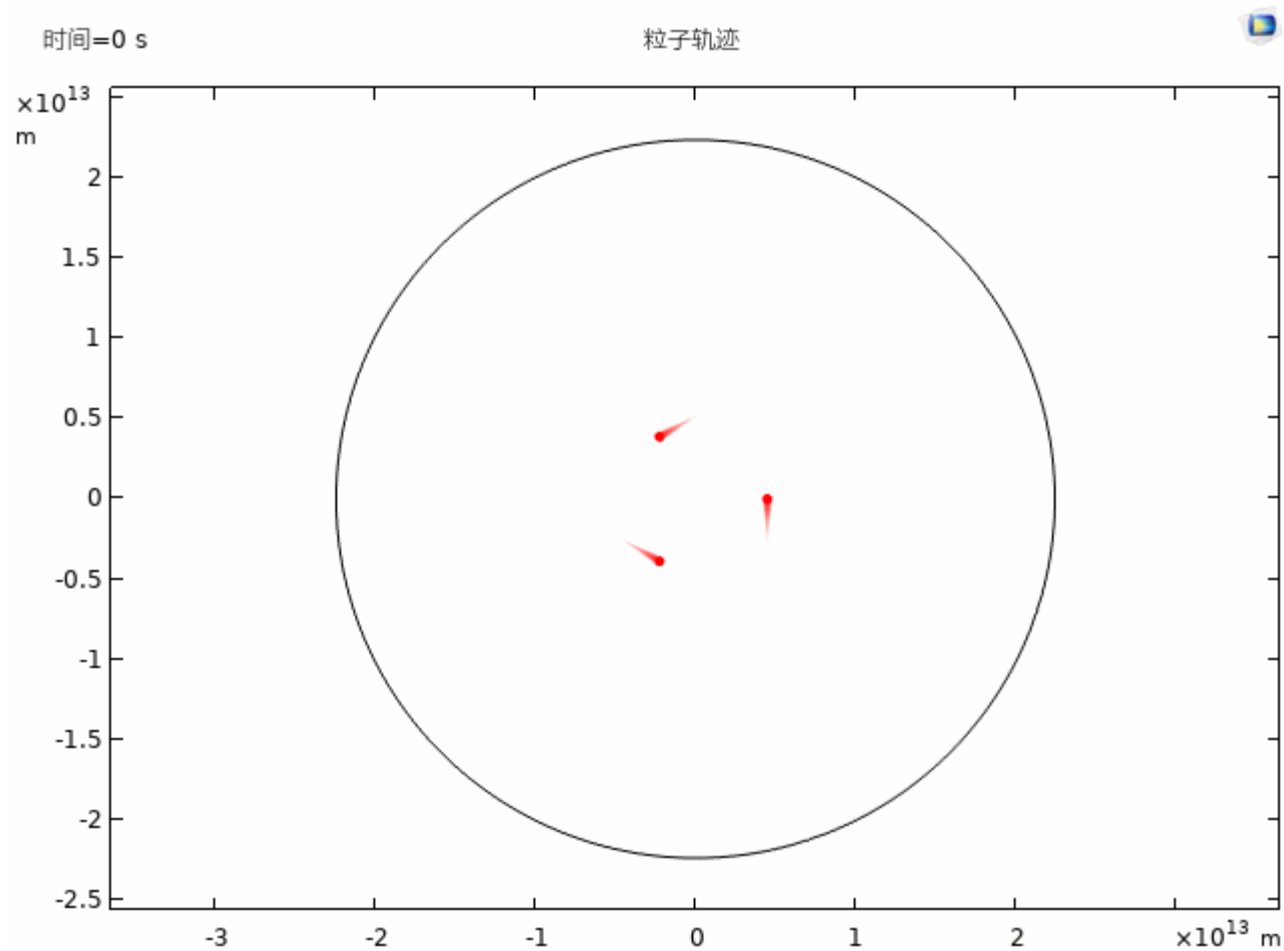


$$\theta = 10^\circ$$



$$\theta = 80^\circ$$

# 更加复杂的物理系统



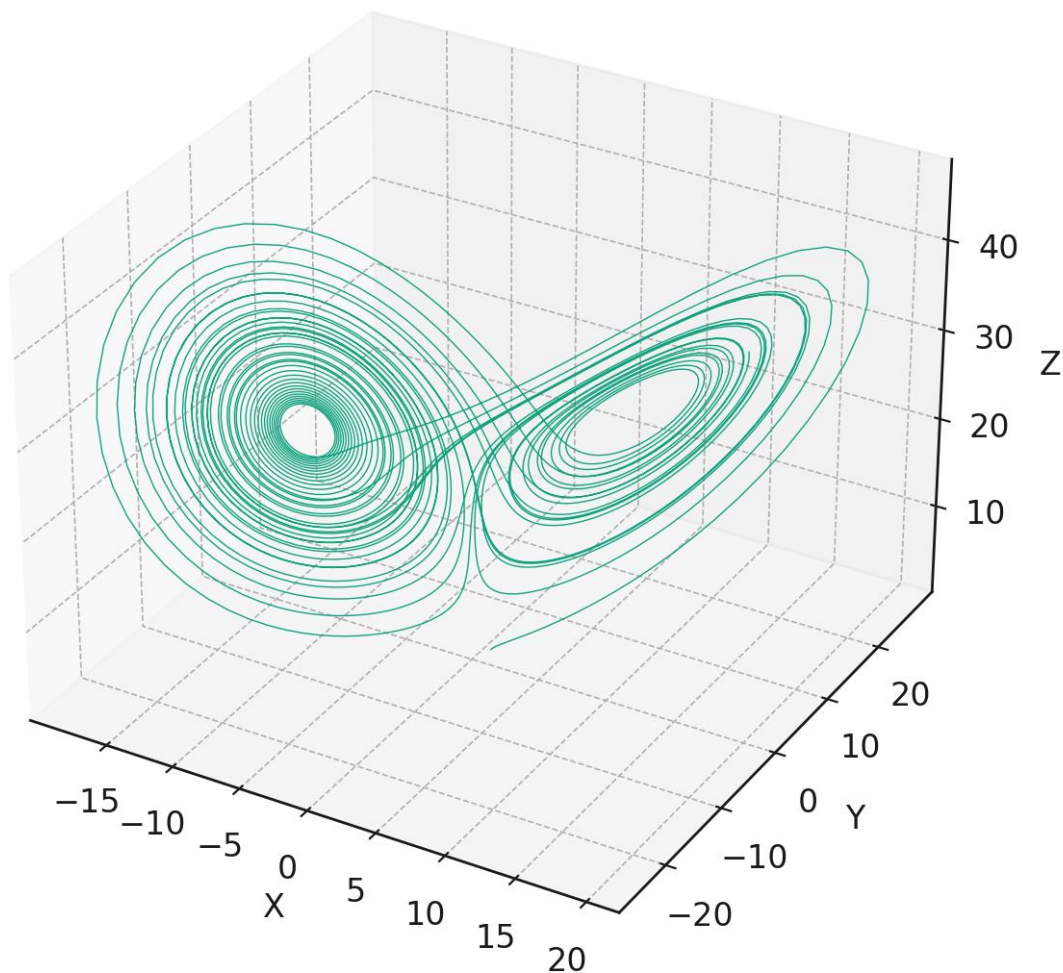
## 三体问题

# 更加复杂的物理系统

考虑方程（洛伦兹吸引子方程）：

$$\begin{cases} \frac{dx}{dt} = \sigma(y - x) \\ \frac{dy}{dt} = x(\rho - z) - y \\ \frac{dz}{dt} = xy - \beta z \end{cases}$$

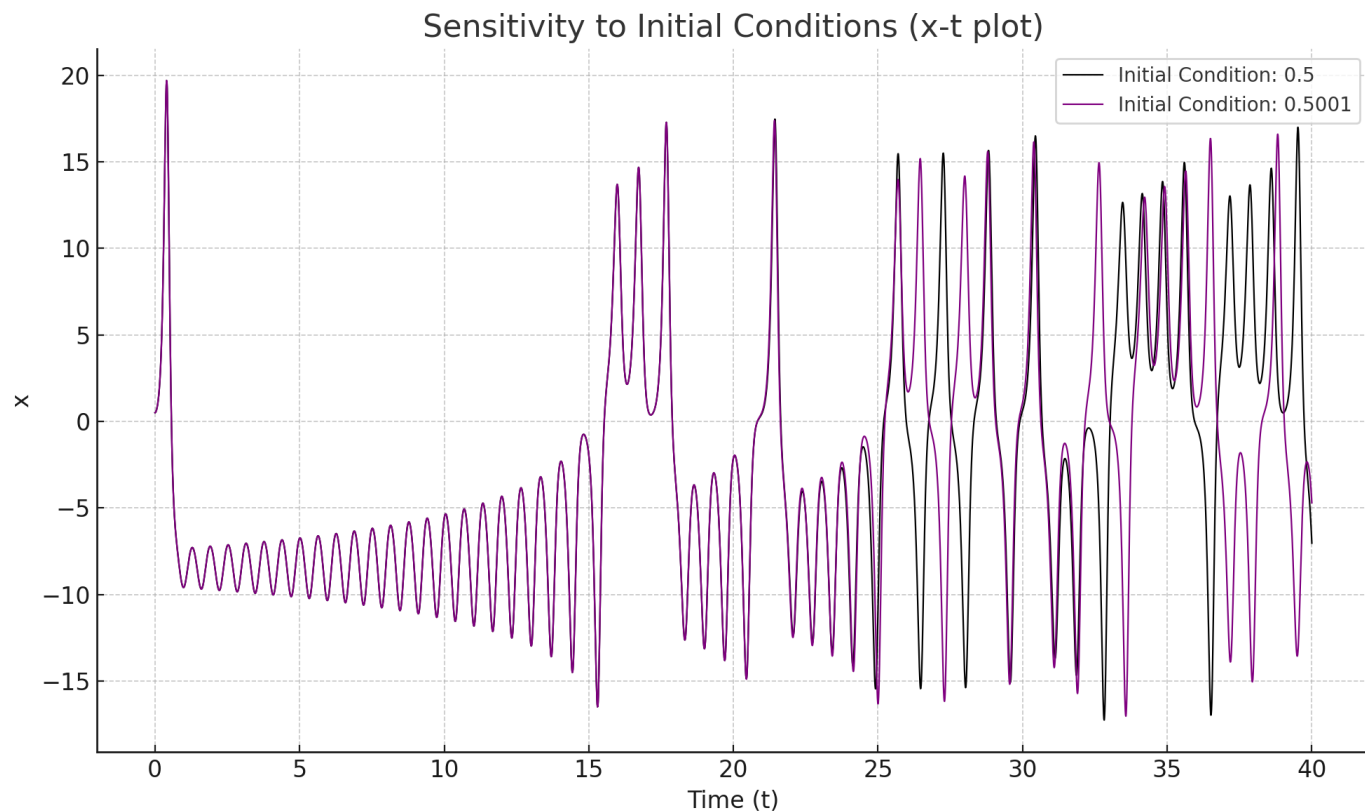
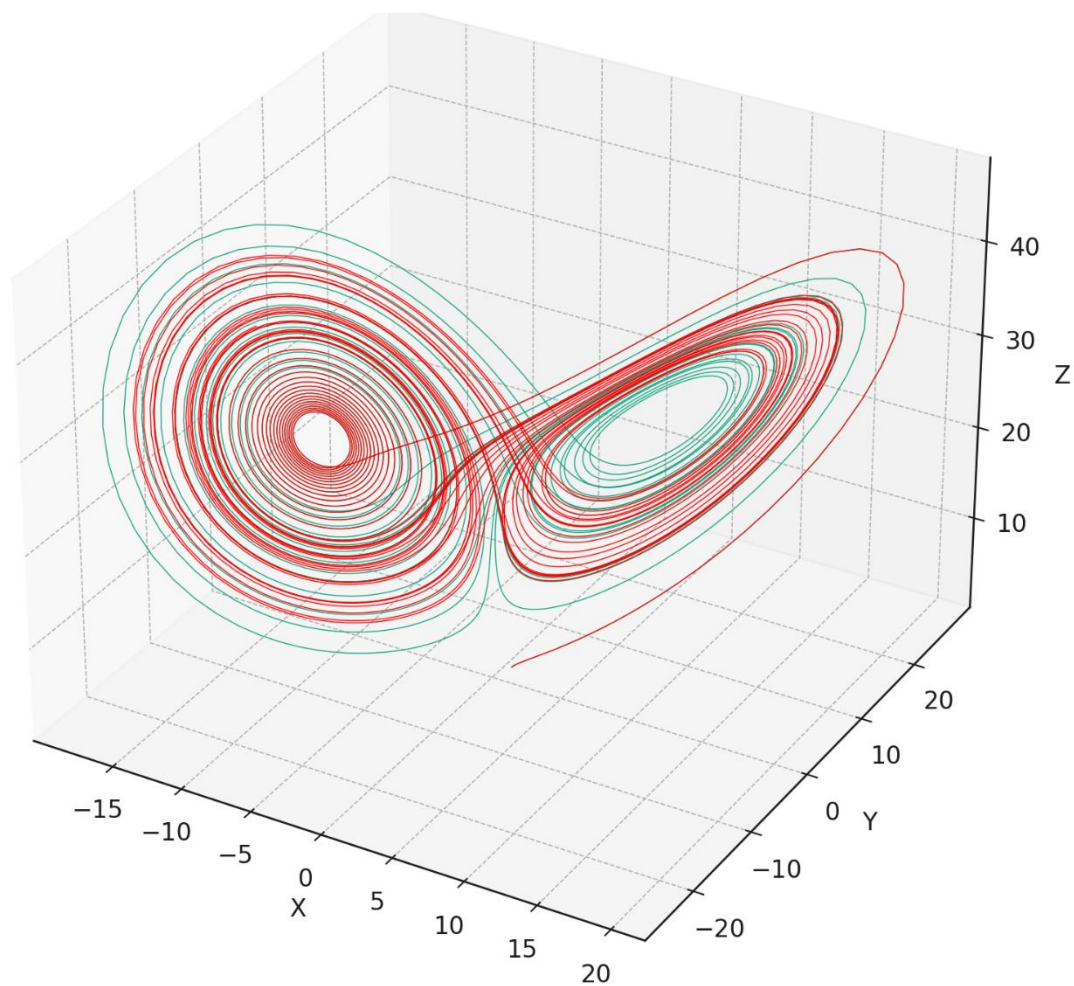
# 更加复杂的物理系统



洛伦兹吸引子方程：

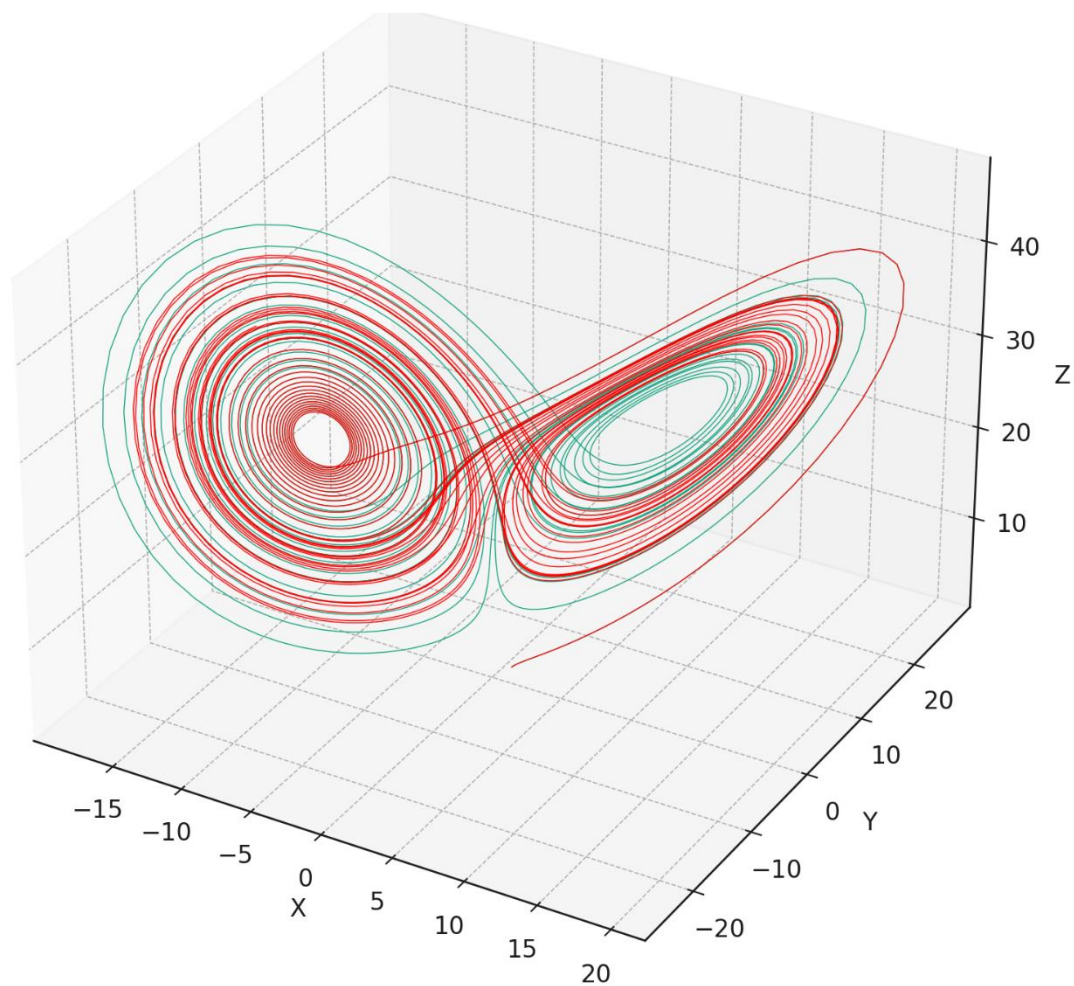
$$\begin{cases} \frac{dx}{dt} = \sigma(y - x) \\ \frac{dy}{dt} = x(\rho - z) - y \\ \frac{dz}{dt} = xy - \beta z \end{cases}$$

# 更加复杂的物理系统





# 更加复杂的物理系统



混沌：

巴西某只蝴蝶闪动一下翅膀会  
引发美国得克萨斯的一场飓风

非线性方程：

$$\begin{cases} \frac{dx}{dt} = \sigma(y - x) \\ \frac{dy}{dt} = x(\rho - z) - y \\ \frac{dz}{dt} = xy - \beta z \end{cases}$$

# 更加复杂的物理系统

微分方程初值问题数值解：物理过程与时间有关  
非线性方程数值解

考虑方程（Mooney-Rivlin双参数超弹性模型）：

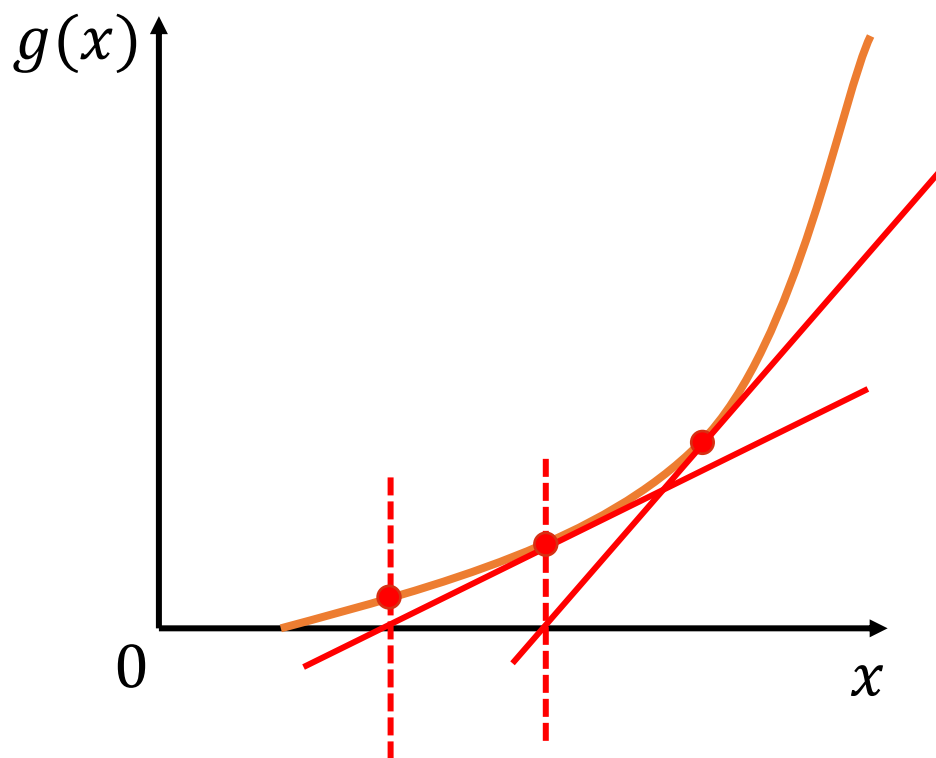
$$\sigma = 2C_{10} \left( \lambda - \frac{1}{\lambda^2} \right) + 2C_{01} \left( \lambda - \frac{1}{\lambda} \right)$$

- $\sigma$ 是应力
- $\lambda$ 是拉伸比，即拉伸后的长度与原始长度的比值
- $C_{10}$ 和 $C_{01}$ 是Mooney-Rivlin模型的参数



# 非线性方程数值解

考虑方程  $f(x) = m$ ，化为  $g(x) = f(x) - m = 0$



牛顿迭代法：

$$x_{n+1} = x_n - \frac{g(x_n)}{g'(x_n)}$$

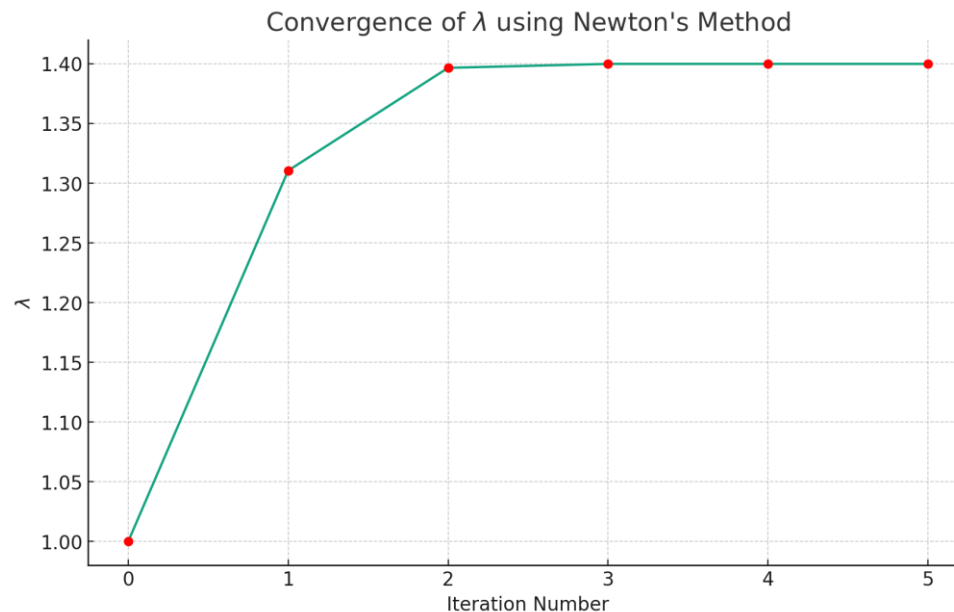
# 橡皮筋拉伸的数值解

考虑方程（Mooney-Rivlin双参数超弹性模型）：

$$\sigma = 2C_{10} \left( \lambda - \frac{1}{\lambda^2} \right) + 2C_{01} \left( \lambda - \frac{1}{\lambda} \right)$$

取 $C_{10} = 0.187MPa$ ,  $C_{01} = 0.122MPa$ ,  $\sigma = 0.5MPa$

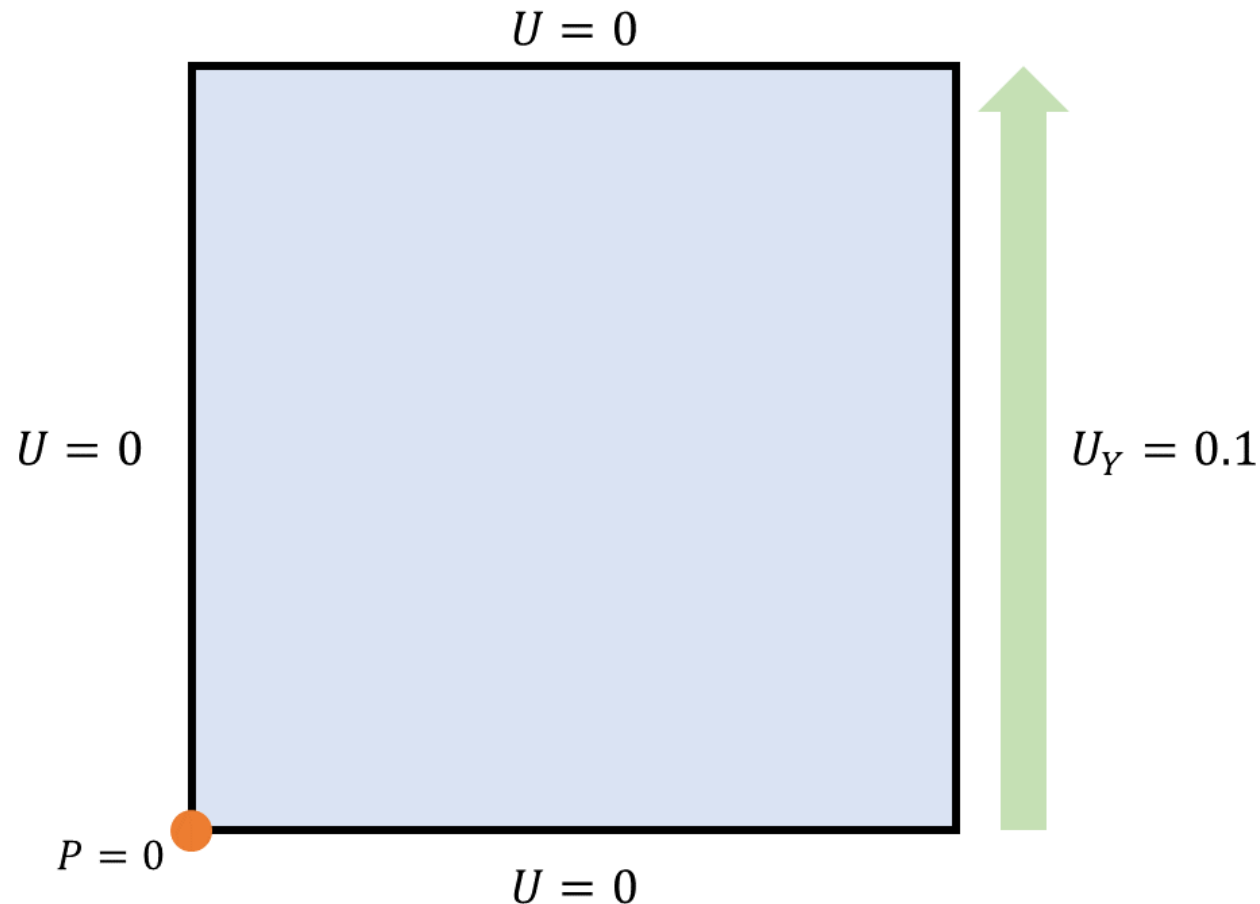
最终解得 $\lambda \approx 1.40$



# 更加现实的物理问题

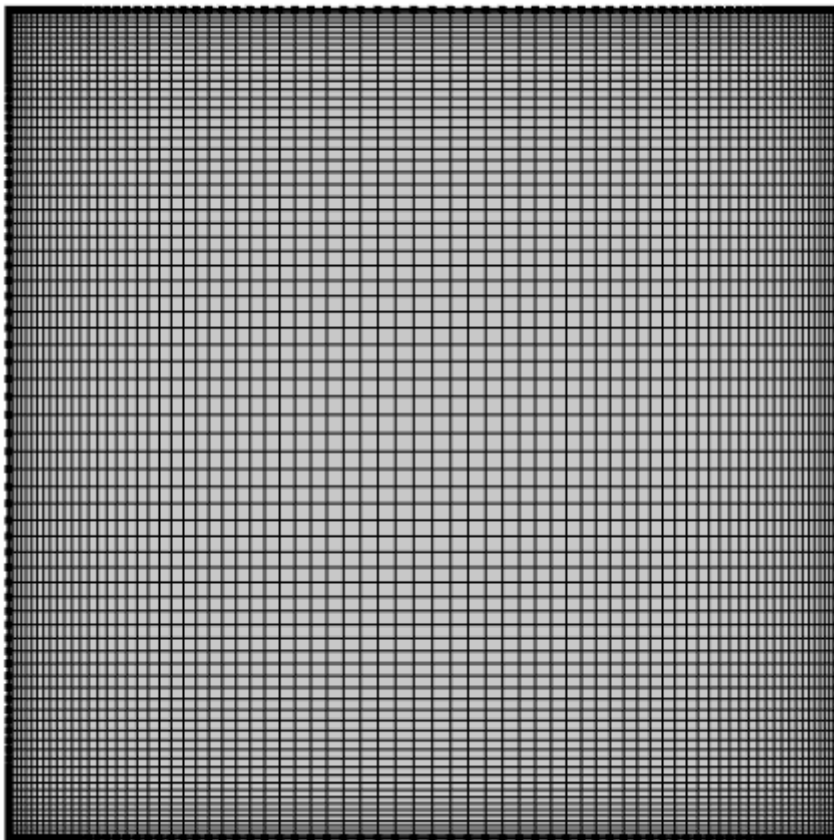
欧拉方程:

$$\rho \frac{d\vec{v}}{dt} = \rho \vec{F} - \nabla p$$

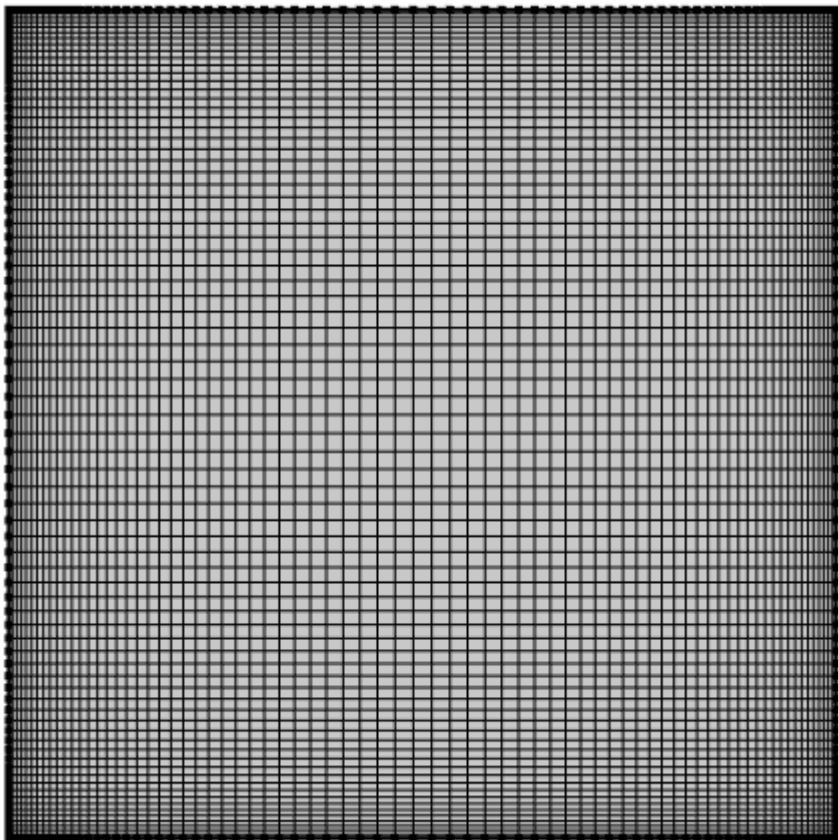


顶盖驱动空腔问题

# 更加现实的物理问题



# 更加现实的物理问题



## ①有限差分

$$f(x_i, y) = f(x_{i-1}, y) + f'_x(x_{i-1}, y)h$$

缺点：要求规则网格，通用性弱

## ②有限元

使用函数逼近方法

类似傅里叶变换：

$$f(x) \approx c_0 \cdot \varphi_0 + c_1 \cdot \varphi_1 + \cdots$$

$\varphi$ 为基函数， $c$ 为系数

# 更加现实的物理问题

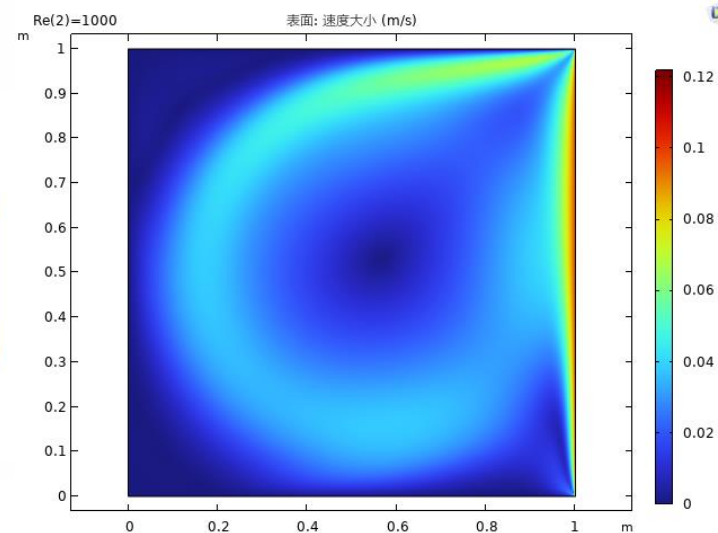
将节点 A、B、C 的平衡关系写成一个方程组，有

类似：

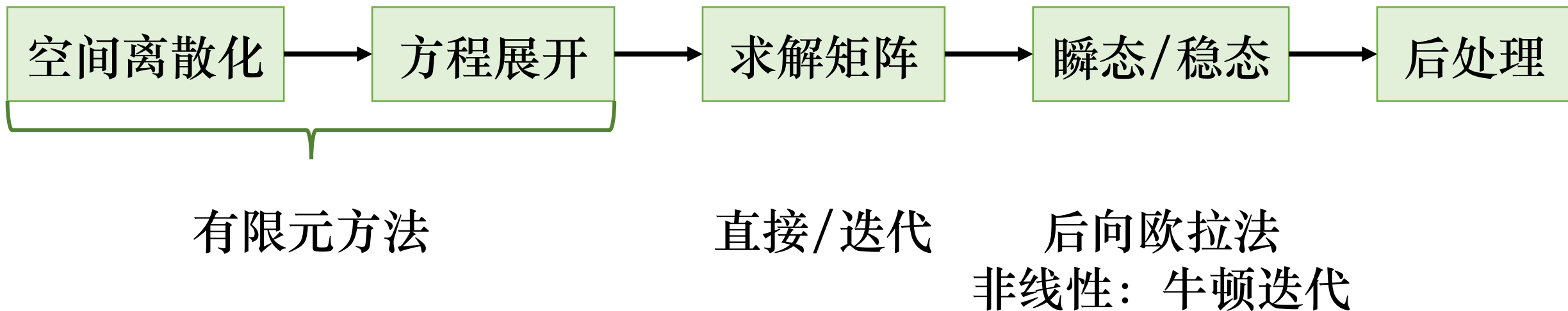
$$\left. \begin{aligned} -\tilde{P}_A - \left( \frac{E_1 A_1}{l_1} \right) u_A + \left( \frac{E_1 A_1}{l_1} \right) u_B + 0 &= 0 \\ 0 + \left( \frac{E_1 A_1}{l_1} \right) u_A - \left( \frac{E_1 A_1}{l_1} + \frac{E_2 A_2}{l_2} \right) u_B + \left( \frac{E_2 A_2}{l_2} \right) u_C &= 0 \\ P_C - 0 + \left( \frac{E_2 A_2}{l_2} \right) u_B - \left( \frac{E_2 A_2}{l_2} \right) u_C &= 0 \end{aligned} \right\}$$

写成矩阵形式，有

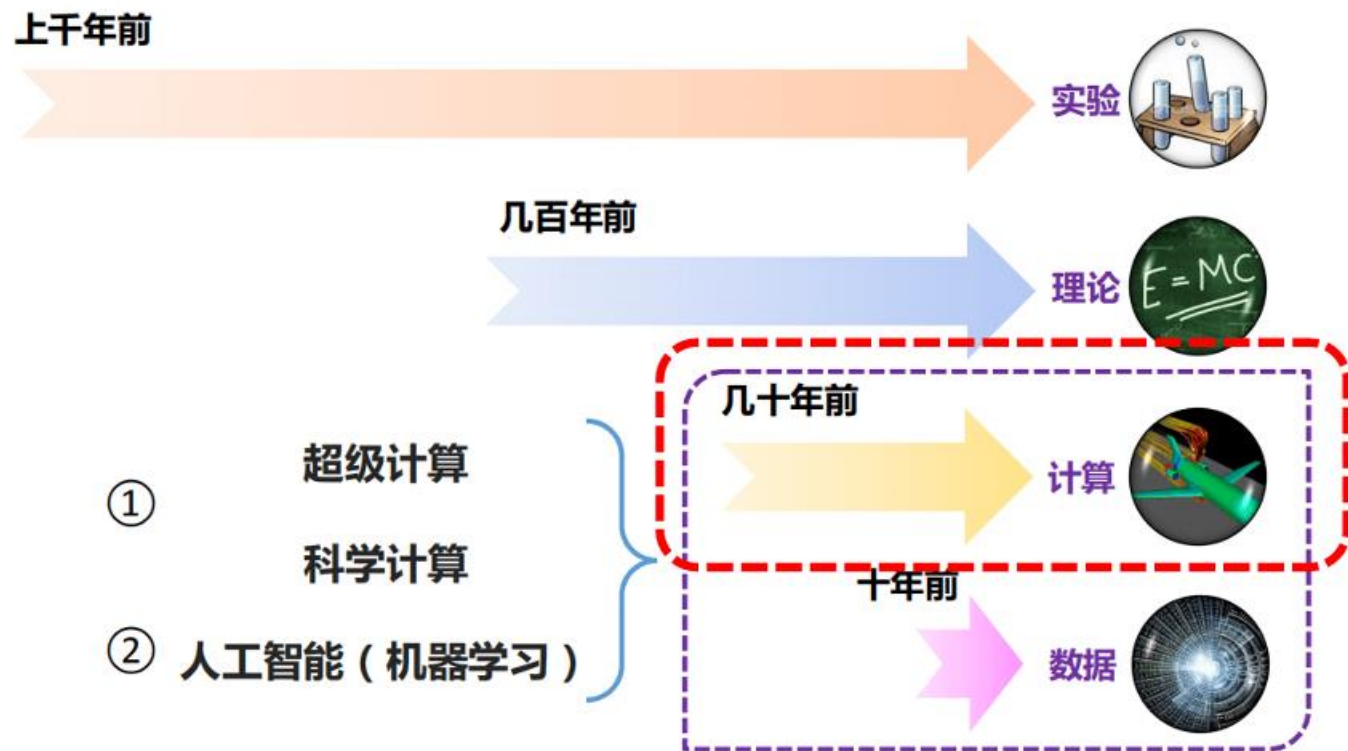
$$\begin{bmatrix} -\tilde{P}_A \\ 0 \\ P_C \end{bmatrix} - \begin{bmatrix} \frac{E_1 A_1}{l_1} & -\frac{E_1 A_1}{l_1} & 0 \\ -\frac{E_1 A_1}{l_1} & \frac{E_1 A_1}{l_1} + \frac{E_2 A_2}{l_2} & -\frac{E_2 A_2}{l_2} \\ 0 & -\frac{E_2 A_2}{l_2} & \frac{E_2 A_2}{l_2} \end{bmatrix} \begin{bmatrix} u_A \\ u_B \\ u_C \end{bmatrix} = \begin{bmatrix} 0 \\ 0 \\ 0 \end{bmatrix}$$



# 小总结



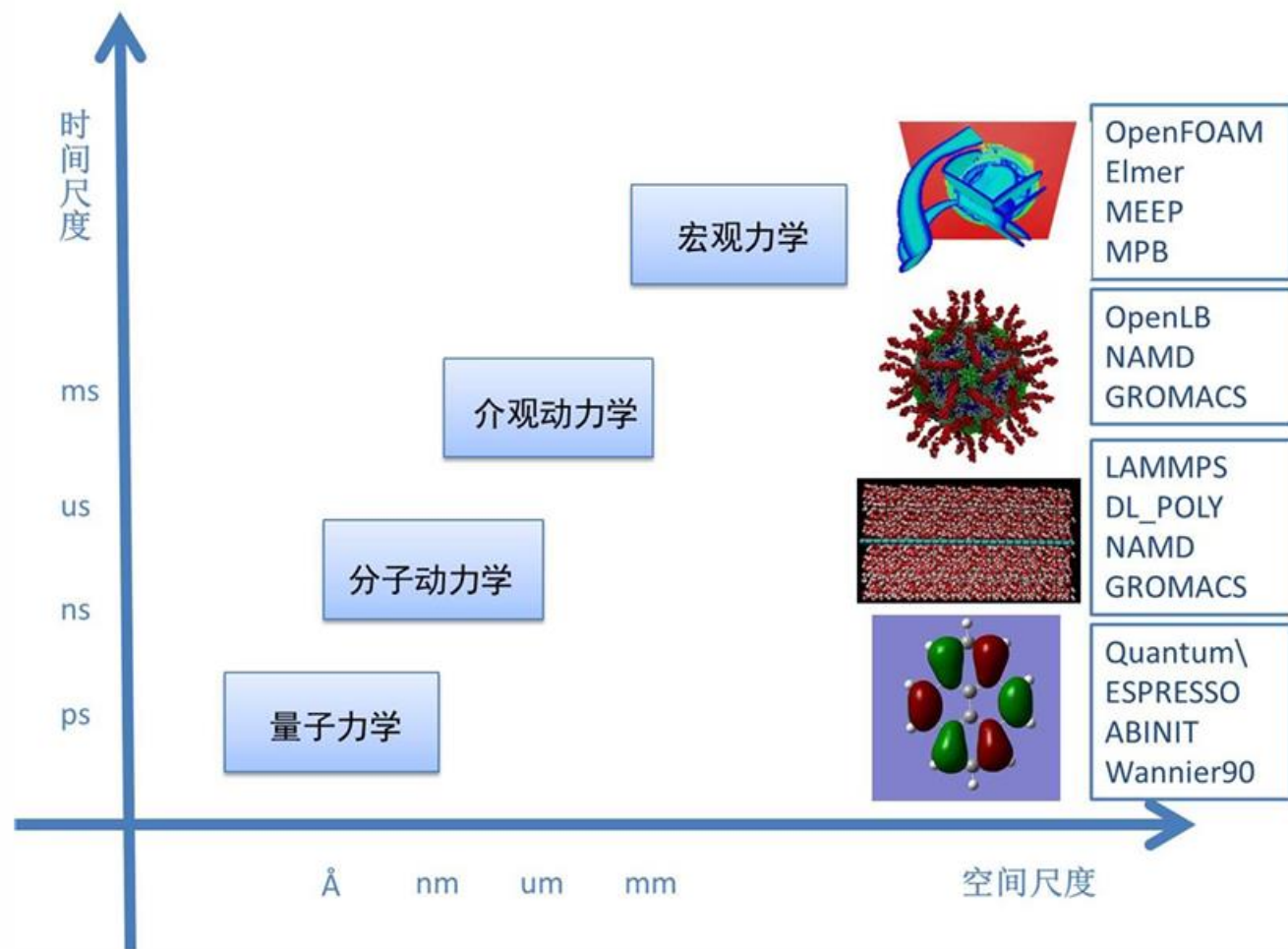
# 现代计算机模拟方法导论



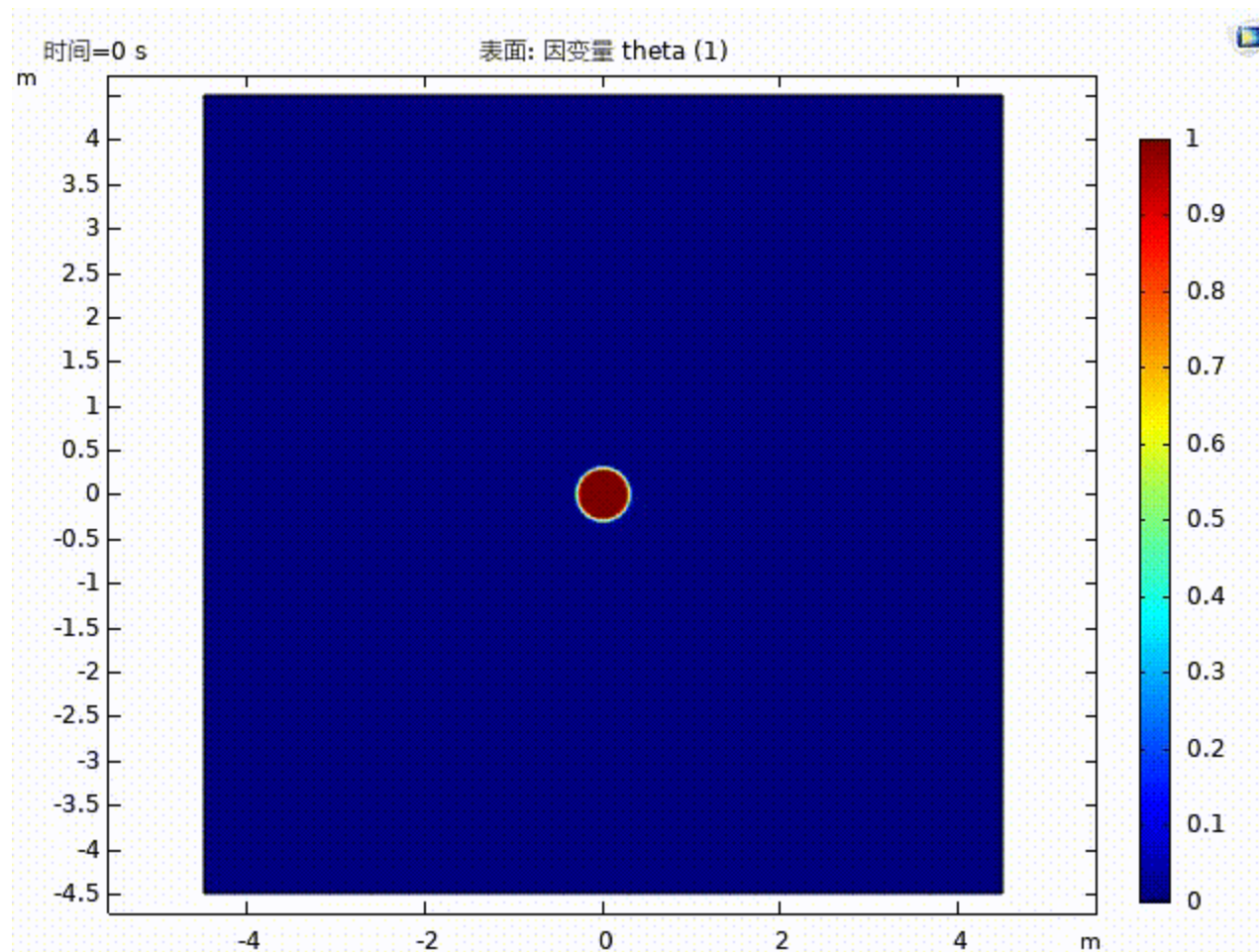
Jim Gray, *The Fourth Paradigm: Data-Intensive Scientific Discovery*, 2009



# 现代计算机模拟方法导论

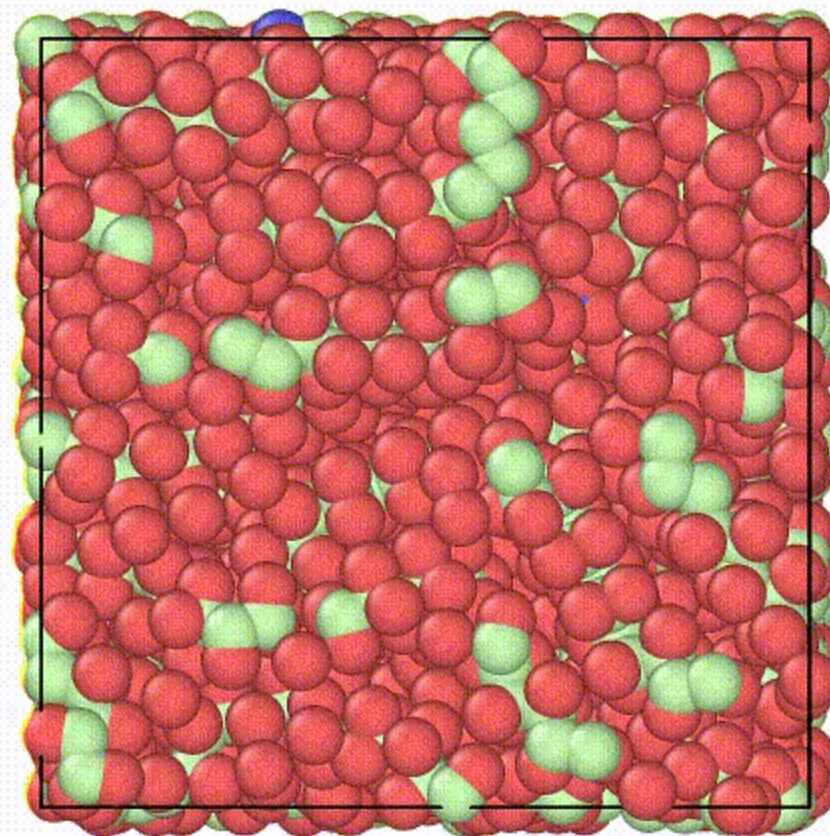


# 现代计算机模拟方法导论



介观动力学：相场法模拟雪花生长

# 现代计算机模拟方法导论



分子动力学：材料剪切

# 计算机模拟是一种“计算实验”

- ① 建模与边界问题：建模为三维/二维/二维轴对称？  
建模的范围多大？
- ② 材料与参数问题：材料的物理参数从哪里来？
- ③ 物理模型的准确性和适用范围
- ④ 有限元的基础——网格划分
- ⑤ 求解方程——边界条件
- ⑥ 验证仿真的正确性——结果与和实验的对照



# 如何学习计算机模拟

- ① 相关课程：《数值计算(数值分析)》、《计算物理》
- ② 实践的第一步：商业软件
- ③ 深入数学/算法：开源软件/代码

# 什么是COMSOL Multiphysics®

**使用 COMSOL 多物理场仿真软件  
模拟真实场景下的物理现象  
设计和优化实际工程问题**

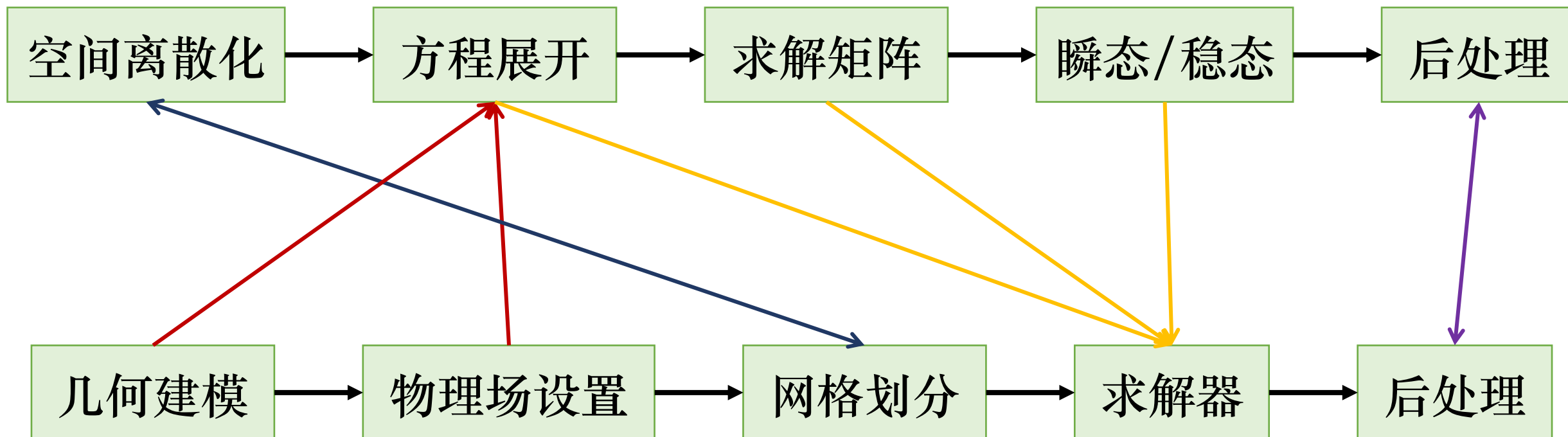
- ✓ 基于先进数值方法的通用仿真软件
- ✓ 支持单一物理场及多物理场耦合建模
- ✓ 同一界面中实现完整建模流程 - 从几何模型构建到结果后处理
- ✓ 提供便捷易用的仿真 App 创建、部署工具

**本质：有限元方法商业软件**

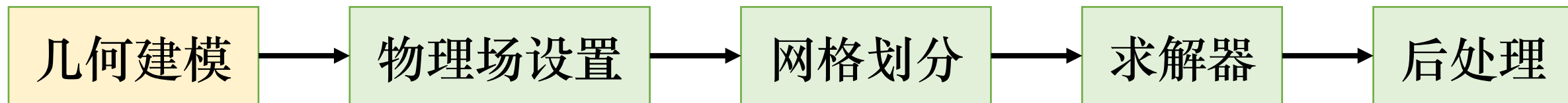
**优点：高度自由，易上手的交互，非常充足的案例库**

**缺点：闭源，方法有限，计算效率较低**

# COMSOL Multiphysics®的一般流程



# COMSOL Multiphysics®的一般流程

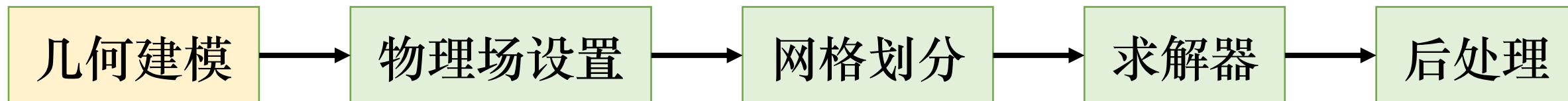


## 选择空间维度





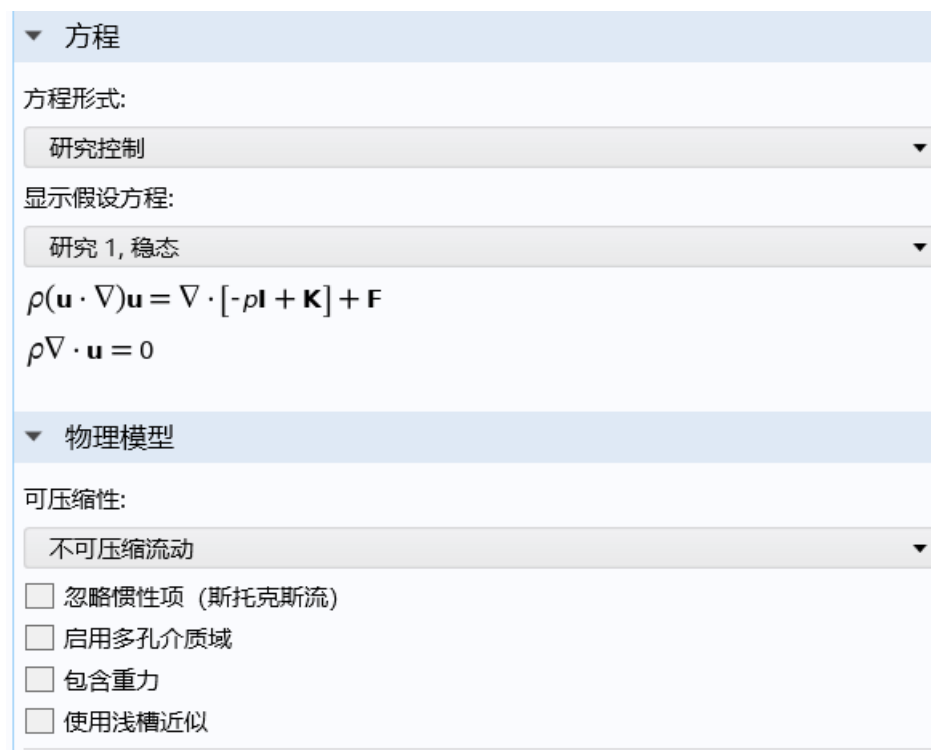
# COMSOL Multiphysics®的一般流程



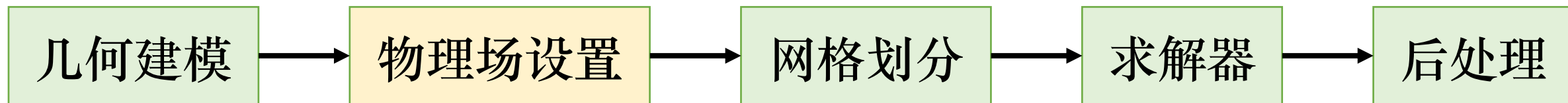
- 几何 1
  - 矩形 1 (*r1*)
  - 多边形 1 (*pol1*)
  - 形成联合体 (*fin*)



# COMSOL Multiphysics®的一般流程



# COMSOL Multiphysics®的一般流程



## 电磁

AC/DC 模块  
RF 模块  
波动光学模块  
射线光学模块  
等离子体模块  
半导体模块

## 结构 & 声学

结构力学模块  
非线性结构材料模块  
复合材料模块  
岩土力学模块  
疲劳模块  
转子动力学模块  
多体动力学模块  
MEMS 模块  
声学模块

## 流体 & 传热

CFD 模块  
搅拌器模块  
聚合物流动模块  
微流体模块  
多孔介质流模块  
地下水流模块  
管道流模块  
分子流模块  
金属加工模块  
传热模块

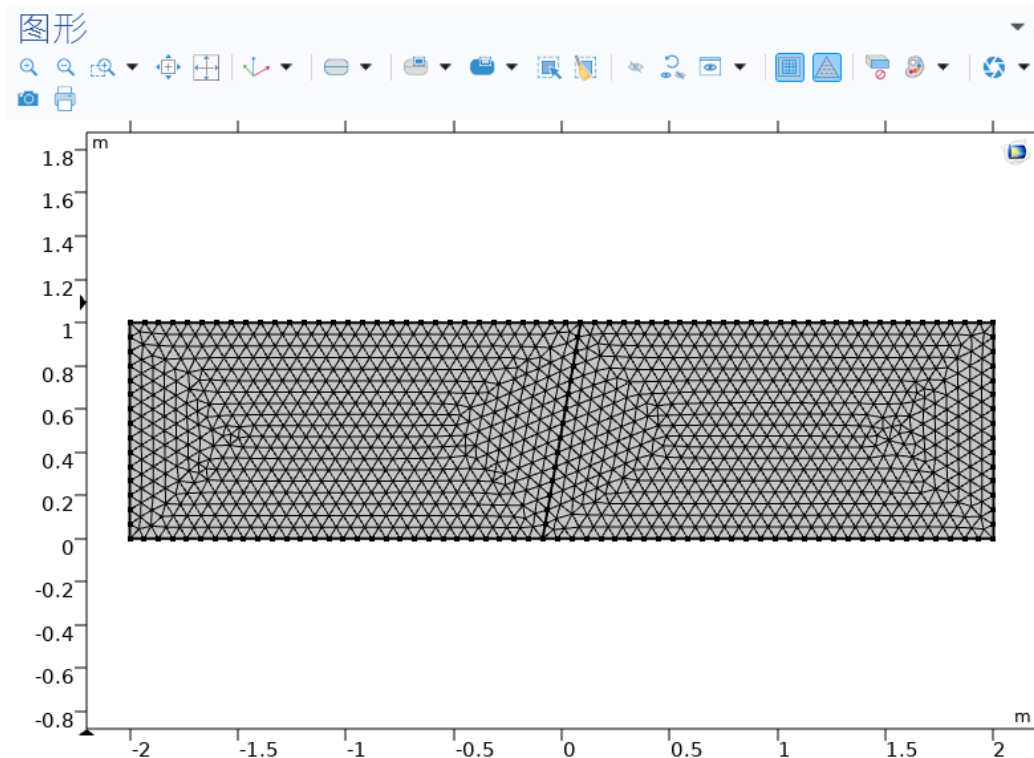
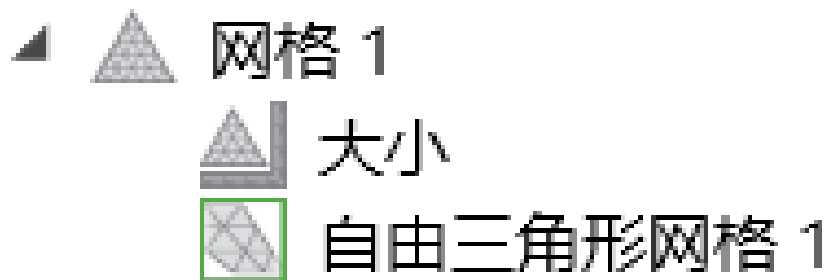
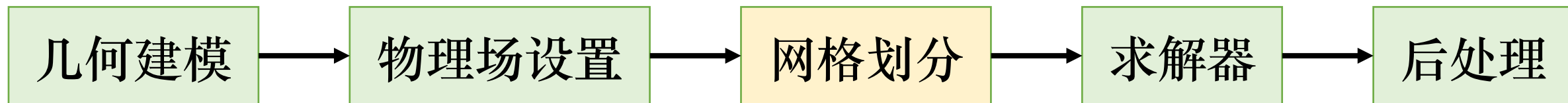
## 化工

化学反应工程模块  
电池模块  
燃料电池和电解槽模块  
电镀模块  
腐蚀模块  
电化学模块

## 多功能

优化模块  
不确定性量化模块  
材料库  
粒子追踪模块  
气液属性模块

# COMSOL Multiphysics®的一般流程



# COMSOL Multiphysics®的一般流程



## 研究 1

参数化扫描

步骤 1: 稳态

求解器配置

解 1 (sol1)

参数化解 1 (sol2)

作业配置

参数化扫描 1

常规

线性求解器: 直接

方法和终止

非线性方法: 自动 (牛顿)

初始阻尼系数: 1

最小阻尼系数: 1E-4

更新步长的限制: 10

步长增长的限制: 1

使用恢复阻尼系数: 自动

恢复阻尼系数: 0.75

更新权重中的自动比例因子: 开

终止技术: 容差

最大迭代次数: 100

容差因子: 1

终止准则: 解或残差

残差因子: 1000

时间步进

求解器类型: 隐式

方法: 向后差分公式

求解器采用的步长: 自由

☒ 在结束时间插值解

初始步长:  s

最大步长约束: 自动

最大 BDF 阶次: 5

最小 BDF 阶次: 1

事件容差: 0.01

☐ 非线性控制器

代数变量设置

奇异质量矩阵: 可能

一致初始化: 后向欧拉法

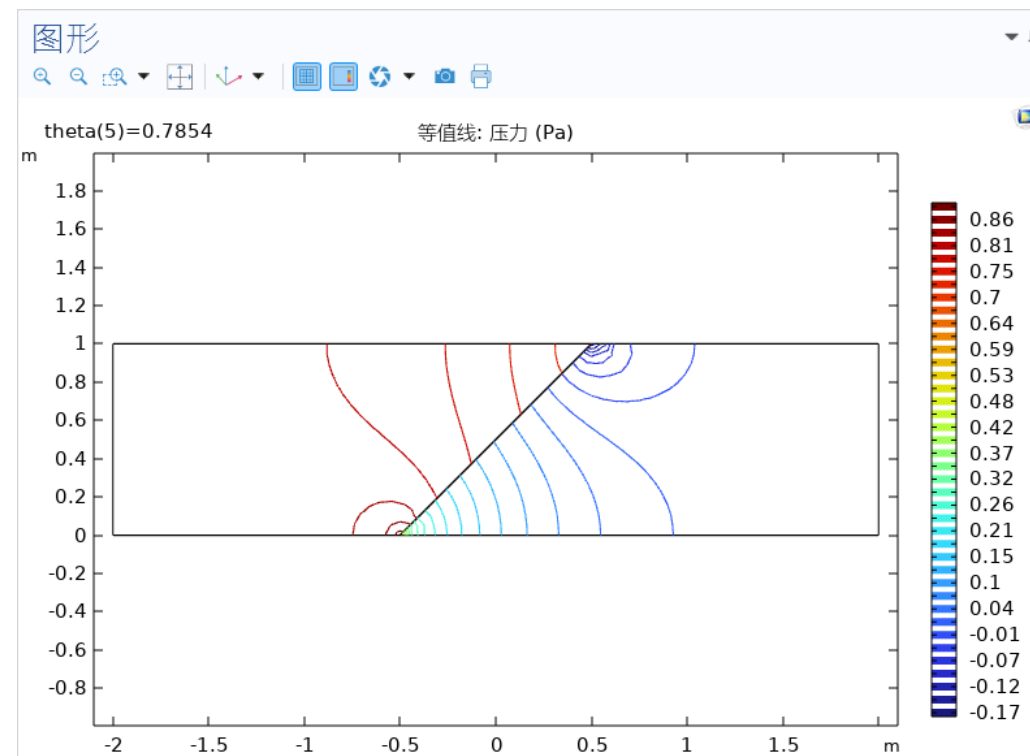
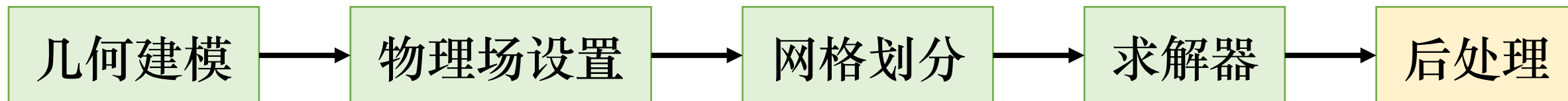
后向欧拉法初始步长分数: 0.001

后向欧拉法的安全系数: 20

误差估计: 包含代数

☐ 初始化后重新缩放

# COMSOL Multiphysics®的一般流程





# 怎么学习COMSOL Multiphysics®

- ① 先了解基础的面板与操作
- ② 多跑案例，多尝试
- ③ 查看文档，不断修改自己的模型



# 怎么学习COMSOL Multiphysics®

- ① [COMSOL官方视频中心](#)
- ② [COMSOL官方案例库](#)
- ③ COMSOL官方博客
- ④ COMSOL内置的帮助……



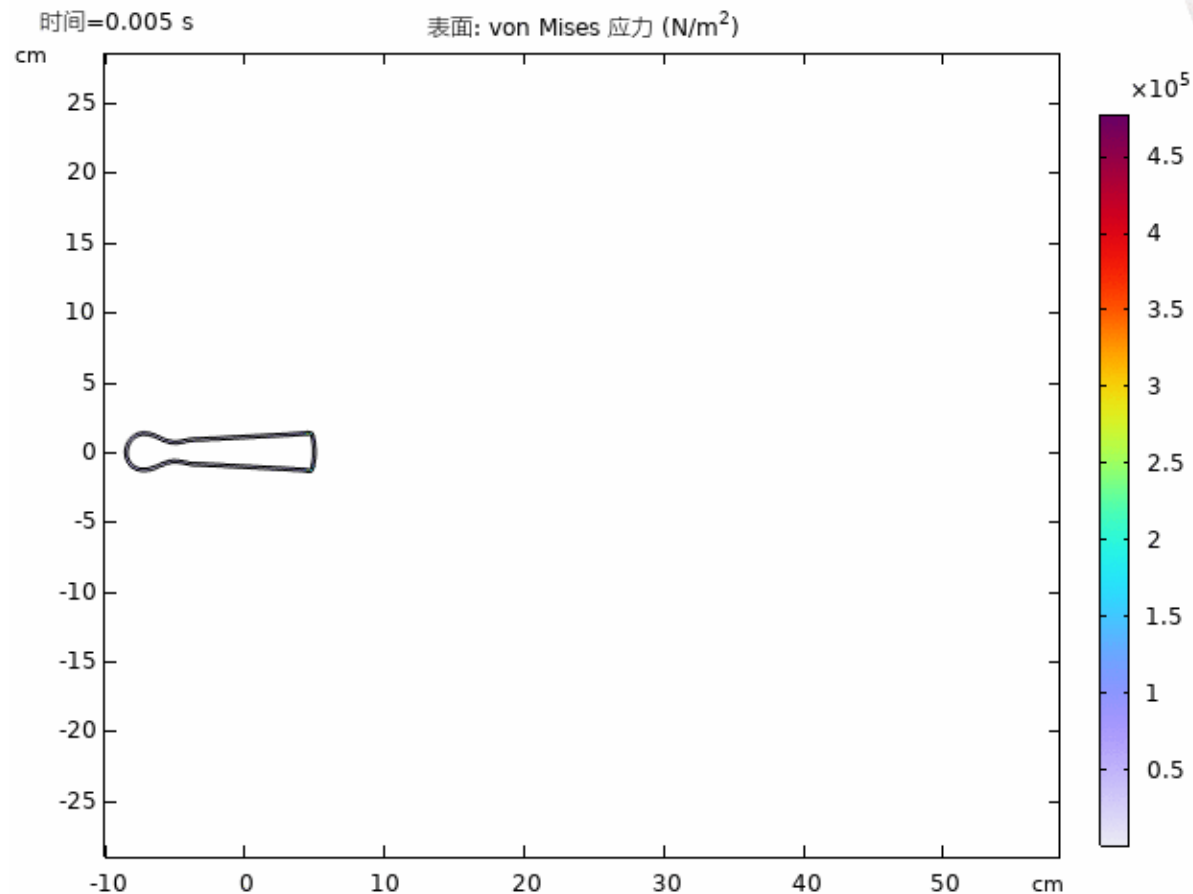
# 手把手案例

## 13. Shooting Rubber Band

A rubber band may fly a longer distance if it is non-uniformly stretched when shot, giving it spin. Optimize the distance that a rubber band with spin can reach.

### 13. 射击橡皮筋

如果橡皮筋在射击时不均匀拉伸，使其旋转，则可以飞得更远。优化带旋转的橡皮筋能到达的距离。



# 自由提问时间



在线提问



讲座调查



谢谢大家